



CORRIDOIO PLURIMODALE TIRRENI-CORDOLO TIRRENO-NORD EUROPA ITINERARIO AGRIGENTO – CALTANISSETTA-A19

S.S. N° 640 "DI PORTO EMPEDOCLE"

AMMODERNAMENTO E ADEGUAMENTO ALLA CAT. B DEL D.M. 5.11.2001
Dal km 44+000 allo svincolo con l'A19

PROGETTO DEFINITIVO

GRUPPO DI PROGETTAZIONE

ATI:

TECHNITAL s.p.a. (mandataria)
S.I.S. Studio di Ingegneria Stradale s.r.l.
DELTA Ingegneria s.r.l.
INFRATEC s.r.l Consulting Engineering
PROGIN s.p.a.

I RESPONSABILI DI PROGETTO

Dott. Ing. M. Raccosta
Ordine Ing. Verona n° A1665
Prof. Ing. A. Bevilacqua
Ordine Ing. Palermo n° 4058
Dott. Ing. M. Carliano
Ordine Ing. Agrigento n° A628
Dott. Ing. N. Troccoli
Ordine Ing. Potenza n° 836
Dott. Ing. S. Esposito
Ordine Ing. Roma n° 20837

IL GEOLOGO

INTEGRAZIONE PRESTAZIONI SPECIALISTICHE

Dott. Ing. M. Raccosta

VISTO: IL RESPONSABILE
DEL PROCEDIMENTO

Dott. Ing. Massimiliano Fidenzi

VISTO: IL RESPONSABILE DEL
SERVIZIO PROGETTAZIONE

Dott. Ing. Antonio Valente

DATA

PROTOCOLLO

OPERE D'ARTE MAGGIORI – VIADOTTI OPERE SULL'ASSE PRINCIPALE

SVINCOLO CON A19 – RAMPA 2

RELAZIONE PRELIMINARE DI CALCOLO – IMPALCATO

CODICE PROGETTO		NOME FILE	REVISIONE	FOGLIO	SCALA:
L0407B	D 0501	P01V115STRRE07A.pdf			
		CODICE ELAB.	P01V115STRRE07	A	01 DI 01
D					
C					
B					
A	EMISSIONE	Ottobre 2006	P. Polani	F. Arciuli	C. Marro
REV.	DESCRIZIONE	DATA	VERIFICATO RESP. TECNICO	CONTROLLATO RESP. D'ITINERARIO	APPROVATO RESP. DI SETTORE

INDICE

RELAZIONE TECNICA	2
1 Generalità	2
2 Criteri di calcolo	3
2.1 Impalcato	3
2.1.1 Statica longitudinale	3
2.1.2 Statica trasversale	4
3 Riferimenti normativi	5
RELAZIONE SUI MATERIALI	6
4 Conglomerati cementizi	6
5 Acciaio ad aderenza migliorata	6
6 Acciaio da carpenteria	6
7 Controventi	7
8 Bulloni ad alta resistenza	7
9 Pioli con testa tipo “Nelson”	7
10 Saldature	7
CALCOLI STATICI: PARTE I – IMPALCATO	8
1 Generalità	8
2 Analisi dei carichi	8
3 Analisi strutturale	13
3.1 Criteri generali	13
3.2 Sollecitazioni di progetto	14
4 Verifiche dell’impalcato	18
4.1 Verifica di resistenza travi principali	18
4.2 Verifica di stabilità dei pannelli d’anima delle travi principali	25
PARTE II: APPOGGI, GIUNTI E DISPOSITIVI ANTISISMICI	27
1 Appoggi e Dispositivi Antisismici	27
2 Giunti e scorrimenti degli appoggi di estremità	29

APPENDICE A: Sollecitazioni di calcolo dell’ impalcato

APPENDICE B: Modelli di calcolo dell’ impalcato

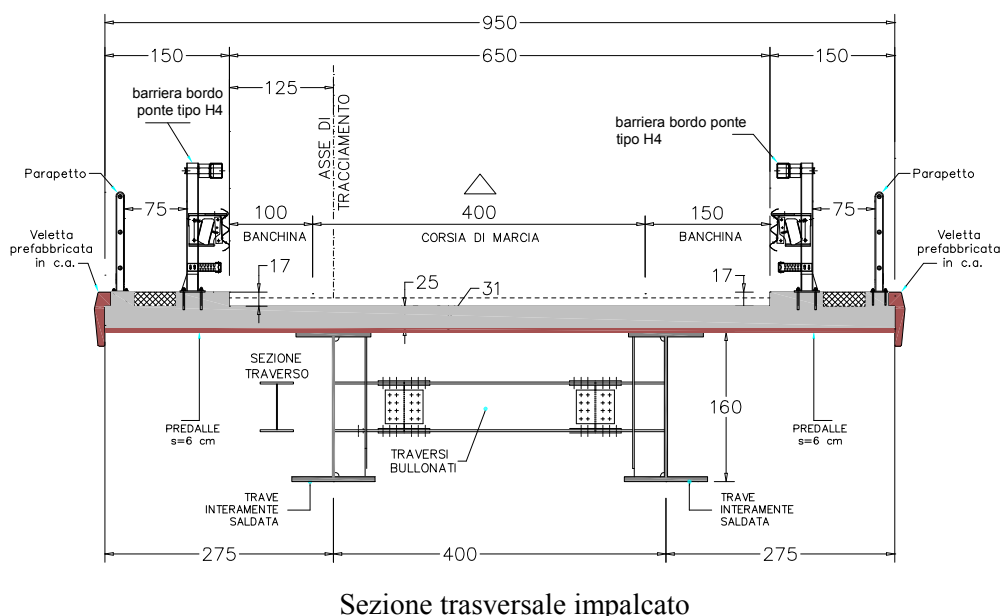
RELAZIONE TECNICA

1 Generalità

Nel presente elaborato sono riportati i calcoli statici dell' impalcato e degli Appoggi, Giunti e Dispositivi Antisismici del viadotto della RAMPA 2 dello svincolo con l' Autostrada A19, inserito nei lavori per l' ammodernamento e l' adeguamento alla cat. B del D.M. 5.11.2001 della S.S. 640 "di Porto Empedocle" nel tratto dal km 44+000 allo svincolo con l' A19.

Il Viadotto, che inizia dalla pila 43 e termina sulla spalla C, presenta 6 campate di luce 21+4x32+21 m.

La sezione trasversale dell' impalcato è riportata nella figura seguente:



L' impalcato ha una larghezza complessiva di 9,5 m così suddivisa:

- Una corsia di marcia da 4,00 m e due banchine da 1,50 m e 1,00 m che costituiscono la sede stradale;
- due cordoli da 1,50 m per l'alloggiamento della barriera di sicurezza, del parapetto e del marciapiede di servizio di 0,75 m;

La carpenteria metallica dell' impalcato è costituita da due travi a doppio T di altezza 1,60 m poste ad interasse di 4,00 m collegate da traversi con anima piena ad interasse di circa 5 m ubicati a metà altezza delle travi. Gli sbalzi laterali hanno lunghezza di 2,75 m.

La soletta ha spessore costante di 31cm di cui 6 cm di predalle e 25 cm di getto in opera.

Il Viadotto presenta, in senso longitudinale, i seguenti dispositivi antisismici:

- Appoggi fissi su P46
- Dispositivi di vincolo dinamico (shock-trasmitters) integrati con gli appoggi unidirezionali su P44,P45,P47.

In senso trasversale le azioni sismiche sono trasmesse alle sottostrutture mediante gli appoggi unidirezionali longitudinali su P43,P44,P45,P47,P48,SC e gli appoggi fissi su P46.

2 Criteri di calcolo

2.1 Impalcato

2.1.1 Statica longitudinale

Lo schema statico adottato è quello di un ponte bitrave continuo a più campate ad asse rettilineo con luci pari agli interassi delle pile misurate in asse impalcato.

L’analisi strutturale è condotta su una singola trave composta, sottoposta al peso proprio, ai sovraccarichi permanenti, alle distorsioni e all’aliquota dei carichi mobili che discende dalla ripartizione trasversale dei carichi.

La trave continua composta è discretizzata in conci di sezione costante, tenendo conto quindi delle variazioni geometriche, della fessurazione della soletta e delle azioni concentrate.

Nell’analisi strutturale si tiene conto delle fasi transitorie e di esercizio e si opera con i seguenti modelli:

Modello 1: ottenuto considerando le proprietà inerziali delle sole travi metalliche ed utilizzato per la valutazione degli effetti indotti dal peso proprio dell’acciaio e della soletta.

Modello 2: ottenuto considerando le proprietà inerziali ideali della sezione composta con soletta collaborante omogeneizzata all’acciaio mediante coefficiente 6. Il modello è utilizzato per la valutazione degli effetti indotti dalle azioni di breve durata.

Modello 3: ottenuto considerando le proprietà inerziali ideali della sezione mista con soletta collaborante omogeneizzata all’acciaio mediante coefficiente 20. Il modello è utilizzato per la valutazione degli effetti indotti dalle azioni di lunga durata e dal ritiro.

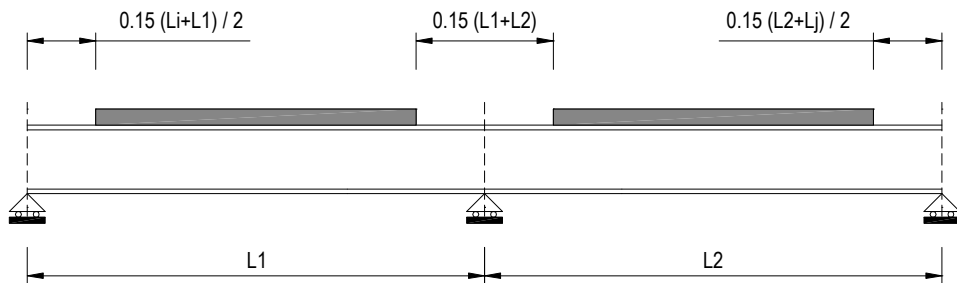


Figura 2.1 - Modellazione degli effetti dovuti alla fessurazione

Nei modelli 2 e 3 si tiene conto della riduzione di rigidezza della sezione composta in prossimità degli appoggi interni per la fessurazione della soletta, trascurando il contributo inerziale del calcestruzzo su un tratto di lunghezza pari al 15 % delle luci delle due campate adiacenti e mettendo comunque in conto il contributo inerziale delle armature presenti entro la larghezza collaborante (Figura 2.1).

Per le verifiche di sicurezza, si considerano le seguenti quattro sezioni tipo:

Sezione Tipo 1: proprietà inerziali della sola membratura metallica soggetta alle sollecitazioni dovute al peso proprio dell'acciaio e della soletta di calcestruzzo.

Sezione Tipo 2: proprietà inerziali ideali della sezione mista con calcestruzzo omogeneizzato all'acciaio con coefficiente di omogeneizzazione $n = 6$. La sezione è utilizzata per le sollecitazioni prodotte dalle azioni di breve durata nelle regioni a momento flettente positivo.

Sezione Tipo 3: proprietà inerziali ideali della sezione mista con calcestruzzo omogeneizzato all'acciaio con coefficiente di omogeneizzazione $n = 20$. La sezione è utilizzata per le sollecitazioni prodotte dai sovraccarichi permanenti e dal ritiro nelle regioni a momento flettente positivo.

Sezione Tipo 4: proprietà inerziali della sezione costituita dalla membratura metallica e dalle barre di armatura con esclusione del calcestruzzo. La sezione è utilizzata nelle regioni a momento flettente negativo.

2.1.2 Statica trasversale

Il calcolo della soletta è stato effettuato su un tratto di sezione di lunghezza unitaria. Le sollecitazioni dei carichi permanenti sono riferite al metro. Per i carichi da traffico è stata considerata una diffusione a 45° del carico fino all'appoggio. Il coefficiente di amplificazione dinamica per i carichi da traffico è pari ad 1,4.

Il dimensionamento dei traversi di campata è stato effettuato su schemi semplificati che consentono la valutazione della rigidezza necessaria a garantire la stabilità delle piattabande compresse delle travi principali, sia nelle fasi transitorie che in quelle di esercizio.

3 Riferimenti normativi

Le analisi delle azioni e le verifiche di sicurezza sono state condotte facendo riferimento alle seguenti normative:

- D.M. 16/01/96 “Criteri generali per la verifica di sicurezza delle costruzioni e dei carichi e sovraccarichi”;
- D.M. 16/01/96 “Norme tecniche per l'esecuzione delle opere in cemento armato normale e precompresso e per le strutture metalliche”;
- D.M. 16/01/96 “Norme tecniche per le costruzioni in zone sismiche”;
- D.M. 04/05/90 “Criteri generali e prescrizioni tecniche per la progettazione, esecuzione e collaudo dei ponti stradali”;
- CNR 10011/97 “Costruzioni di Acciaio – Istruzioni per il calcolo, l'esecuzione, il collaudo e la manutenzione”;
- CNR 10016/85 “Strutture composte di acciaio e calcestruzzo istruzioni per l'impiego nelle costruzioni”;
- CNR 10018/85 “Apparecchi di appoggio in gomma e PTFE nelle costruzioni. Istruzioni per il calcolo e l'impiego”.

RELAZIONE SUI MATERIALI

4 Conglomerati cementizi

Le prescrizioni relative ai conglomerati cementizi sono riportate nell' Elaborato Grafico relativo alle Prescrizioni sui Materiali, facente parte integrante del Progetto.

5 Acciaio ad aderenza migliorata

Le armature da porre in opera non dovranno presentare tracce di ossidazione, corrosione e di qualsiasi altra sostanza che possa ridurne l'aderenza al conglomerato; dovranno inoltre presentare sezione integra e priva di qualsiasi difetto.

Si utilizzeranno barre ad aderenza migliorata tipo FeB44 k controllato in stabilimento, aventi le seguenti caratteristiche:

- tensione caratteristica di snervamento $f_{yk} \geq 430 \text{ MPa}$
- tensione caratteristica di rottura $f_{tk} \geq 540 \text{ MPa}$
- modulo elastico $E_s = 206.000 \text{ MPa}$

6 Acciaio da carpenteria

La carpenteria metallica sarà realizzata in acciaio tipo Fe 510 (grado C), conforme alle prescrizioni del D.M. 9.1.1996 e delle Istruzioni CNR 10011, avente le seguenti caratteristiche:

- tensione di rottura a trazione $f_t \geq 510 \text{ MPa}$
- tensione di snervamento $f_y \geq 355 \text{ MPa}$
- resilienza $KV \geq 27 \text{ J a } -20^\circ\text{C}$
- allungamento (lamiere) $\varepsilon_t \geq 21\%$

Nei tratti a direttrice curva la carpenteria metallica dovrà presentare curvatura continua. E' esclusa la realizzazione per tratti rettilinei consecutivi (spezzata) approssimanti la curva.

Tutte le giunzioni per l'assemblaggio dei conci delle travi portanti, sia quelle da eseguire in officina che quelle in cantiere, saranno di tipo saldato a completa penetrazione.

I traversi intermedi, di pila e di spalla saranno collegati alle travi principali attraverso giunzioni bullonate.

La carpenteria metallica sarà protetta con tre mani di vernice, due applicate in officina e la terza in opera, a conferire il colore finale.

7 Controventi

Le aste del controvento orizzontale ed i relativi elementi di collegamento, saranno realizzati in acciaio tipo Fe 510, conforme alle prescrizioni del D.M. 09.01.1996 e alle Istruzioni CNR 10011, avente le seguenti caratteristiche:

- | | |
|----------------------------------|---|
| • tensione di rottura a trazione | $f_t \geq 510 \text{ MPa}$ |
| • tensione di snervamento | $f_y \geq 355 \text{ MPa}$ |
| • resilienza | $KV \geq 27 \text{ J a } -20^\circ\text{C}$ |
| • allungamento (lamiere) | $\epsilon_t \geq 21\%$ |

8 Bulloni ad alta resistenza

Le giunzioni bullonate saranno realizzate con bulloni ad alta resistenza aventi le seguenti caratteristiche (UNI 3740):

- | | |
|----------------------------------|--------------------------------|
| • vite | classe 10.9 (UNI5712) |
| • tensione di rottura a trazione | $f_t \geq 1000 \text{ MPa}$ |
| • tensione di snervamento | $f_y \geq 900 \text{ MPa}$ |
| • tensione caratteristica | $f_{k,N} \geq 700 \text{ MPa}$ |
| • dado | classe 10 (UNI 5713) |
| • rosette | C50 (UNI 5714) |
| • forza di serraggio | $N_s = 0,8 f_{k,N} A_{res}$ |
| • coppia di serraggio | $T_s = 0,2 N_s d$ |

9 Pioli con testa tipo “Nelson”

- | | |
|--------------------------------------|-------------------------------|
| • materiale base ST37-3K – DIN 17100 | |
| • tensione di snervamento | $f_{yk} \geq 355 \text{ Mpa}$ |
| • tensione di rottura a trazione | $f_u \geq 510 \text{ Mpa}$ |

10 Saldature

Le saldature dovranno essere realizzate secondo le indicazioni delle Norme CNR 10011/97. Tutte le giunzioni per l'unione dei conci delle travi principali saranno eseguite con saldature testa a testa a completa penetrazione di 1^a classe.

CALCOLI STATICI: PARTE I – IMPALCATO

1 Generalità

I calcoli sono condotti utilizzando uno schema statico a trave continua su 6 campate con luci $21 + 4 \times 32 + 21$ m.

2 Analisi dei carichi

Peso proprio della struttura (g1)

- Carpenteria Metallica (g1,1)	
Travi principali.....	= 12,53 kN/m
Carpenteria secondaria.....	= 4,48 kN/m
- Soletta (g1,2).....	25 kN/mc x 2,945 mq = 73,63 kN/m

Carichi permanenti (g2)

Marciapiedi.....	25 kN/mc x (1,50 x 0,17 + 1,50 x 0,17 mq) = 12,75 kN/m
Pavimentazione stradale.....	20 kN/mc x 6,50 m x 0,11 m = 14,30 kN/m
Velette.....	2 x 1,50 kN/m = 3,00 kN/m
Canalette smaltimento acque.....	1 x 0,50 kN/m = 0,50 kN/m
Parapetti.....	2 x 0,50 kN/m = 1,00 kN/m
Sicurvia.....	2 x 1,00 kN/m = 2,00 kN/m

Carichi permanenti totali..... = 33,55 kN/m

Ritiro del calcestruzzo (e2)

Il ritiro del calcestruzzo è stato schematizzato attraverso le seguenti azioni statiche equivalenti:

Forza assiale d'estremità..... $N_{cr} = E_a \times e_c \times A_{collrit} / n_r = -5956$ kN
 Momento flettente d'estremità..... $M_{cr} = N_c \times z = 3359$ kNm

avendo assunto:

contrazione finale da ritiro..... $e_c = 2,60E-04$
 coefficiente di omogeneizzazione a tinf..... $n_r = 20$
 modulo elastico dell'acciaio..... $E_a = 206010$ MPa
 area della soletta collaborante..... $A_{collrit} = 2,224E+06$ mmq
 distanza fra il baricentro della soletta in cls
 e il baricentro della sezione composta a tinf $z = 0,564$ m



Figura 2.1- Azioni statiche equivalenti al ritiro

Variazioni termiche (e3)

Gli effetti prodotti dalle variazioni termiche differenziali fra la soletta in calcestruzzo e le travi metalliche sono stati valutati con azioni statiche equivalenti concentrate alle estremità dell'impalcato.

Sono state prese in esame le seguenti variazioni termiche:

Variazione termica differenziale positiva 10°C

$$\begin{aligned} \text{Forza assiale d'estremità} \dots\dots\dots\dots\dots & N_{cdT+} = E_a \times a \times 10 \times A_{colldT} / n_0 = 9111 \text{ kN} \\ \text{Momento flettente d'estremità} \dots\dots\dots\dots\dots & M_{cdT+} = N_{cdT+} \times z = -2332 \text{ kNm} \end{aligned}$$

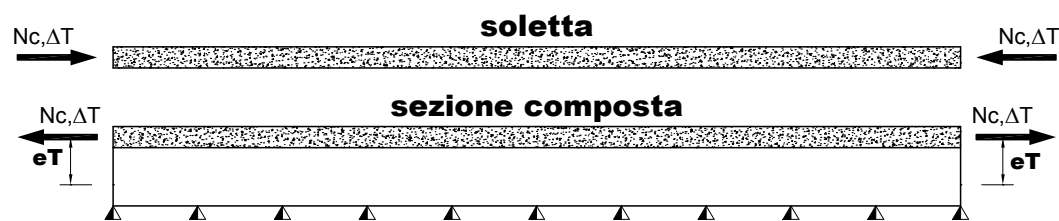


Figura 2.2 - Azioni statiche equivalenti alla variazione termica positiva

Variazione termica differenziale negativa -5°C

$$\begin{aligned} \text{Forza assiale d'estremità} \dots\dots\dots\dots\dots & N_{cdT-} = E_a \times a \times -5 \times A_{colldT} / n_0 = -4556 \text{ kN} \\ \text{Momento flettente d'estremità} \dots\dots\dots\dots\dots & M_{cdT-} = N_{cdT-} \times z = 1166 \text{ kNm} \end{aligned}$$

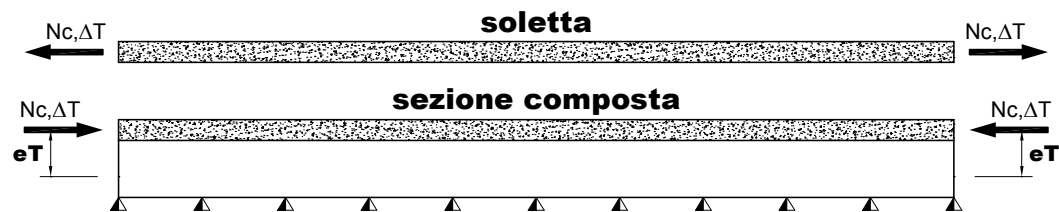


Figura 2.3 - Azioni statiche equivalenti alla variazione termica negativa

avendo assunto:

$$\begin{aligned} \text{coefficiente di dilatazione termica} \dots\dots\dots\dots\dots & a = 1,00E-05 \\ \text{coefficiente di omogeneizzazione a } t_0 \dots\dots\dots\dots\dots & n_0 = 6 \\ \text{modulo elastico dell'acciaio} \dots\dots\dots\dots\dots & E_a = 206010 \text{ MPa} \\ \text{area della soletta collaborante} \dots\dots\dots\dots\dots & A_{colldT} = 2,654E+06 \text{ mmq} \\ \text{distanza fra il baricentro della soletta in cls} & \\ \text{e il baricentro della sezione composta a } t_0 \dots\dots\dots\dots\dots & z = 0,256 \text{ m} \end{aligned}$$

Carichi mobili (q_1)

Si considerano i seguenti carichi mobili:

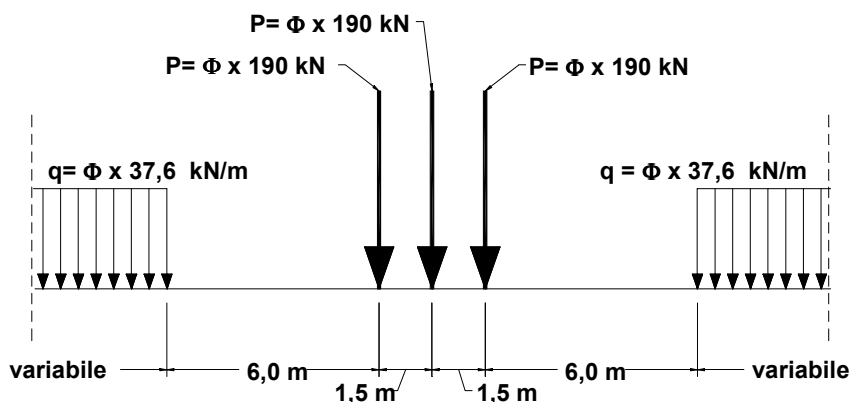
- $q_{1,a}$: mezzo convenzionale da 600 kN a 3 assi avente ingombro longitudinale di 15 m
- $q_{1,b}$: carico di 30 kN/m uniformemente distribuito al di fuori dell'ingombro del $q_{1,a}$
- $q_{1,e}$: carico di 4 kN/mq (folla sul marciapiede)

In senso trasversale i carichi $q_{1,a}$ e $q_{1,b}$ sono stati distribuiti su due corsie convenzionali di larghezza pari a 3,25 m (una di intensità pari al 100% ed una pari al 50%) in modo tale da ottenere la distribuzione trasversale più gravosa per la singola trave.

Le due colonne di carichi mobili occupano quindi l'intera sede stradale con la colonna al 100% ubicata verso uno dei due cordoli da 150 cm. Inoltre sul marciapiede adiacente alla colonna di carico al 100% è stata considerato il carico della folla

Il carico sulla trave maggiormente sollecitata risulta:

$$\begin{aligned} \text{carico d'asse:} & \dots = 190 \quad \text{kN} \\ \text{carico uniforme:} & \dots = 37,6 \quad \text{kN/m} \end{aligned}$$



Carico mobile agente sulla trave più sollecitata

Effetto dinamico dei carichi mobili (q_2)

-
- coeff. ampl. din. = 1,33 per L = 21,00 m
 - coeff. ampl. din. = 1,25 per L = 32,00 m
 - coeff. ampl. din. = 1,25 per L = 32,00 m
 - coeff. ampl. din. = 1,25 per L = 32,00 m
 - coeff. ampl. din. = 1,25 per L = 32,00 m
 - coeff. ampl. din. = 1,33 per L = 21,00 m

Azione del vento (q5)

L'azione del vento è riconducibile ad un carico orizzontale uniforme di $2,50 \text{ kN/m}^2$, diretto ortogonalmente all'asse longitudinale del ponte, agente sulla proiezione, nel piano verticale, delle superfici direttamente investite dal vento. La superficie dei carichi transitanti sul ponte esposta al vento è assimilata ad una parete rettangolare continua di altezza costante pari a **3,00 m** dalla pavimentazione stradale.

Tale azione dà luogo ad una sollecitazione torcente che provoca una flessione differenziale dalle due travi portanti.

$$q_5 = (R \times hv^2/2)/i = (250 \times 5,06^2/2)/4,00 = 7,9 \text{ kN/m}$$

dove:

$$i = 4,00 \text{ m} \text{ (interasse delle travi)}$$

$$hv = 1,60 + 0,35 + 0,11 + 3,00 = 5,06 \text{ (altezza totale della superficie investita dal vento)}$$

$$R = 250 \text{ Kg/mq} \text{ (pressione esercitata dal vento)}$$

Azione del sisma (q₆)

L'azione sismica orizzontale (longitudinale e trasversale) è valutata mediante la seguente espressione:

$$F_h = C \cdot R \cdot I \cdot \varepsilon \cdot \beta \cdot W$$

essendo:

$$C = (S-2)/100 = 0,04 \quad \text{coefficiente di intensità sismica}$$

$$R = 1 \quad \text{coefficiente di risposta}$$

$$I = 1,2 \quad \text{coefficiente di protezione sismica}$$

$$\varepsilon = 1,2 \quad \text{coefficiente di fondazione}$$

$$\beta = 2,5 \quad \text{coefficiente di struttura (appoggi e ritegni sismici)}$$

$$W \quad \text{peso proprio e carichi permanenti}$$

RIEPILOGO DEI CARICHI AGENTI SULLA TRAVE DESTRA

CARPENTERIA METALLICA [$g_{1,1}$]

Peso trave continua	=	da geometria conci
Peso elementi secondari	=	4,48 kNm ⁻¹

PESO DELLA SOLETTA IN C.A. [$g_{1,2}$]	=	36,81 kNm ⁻¹
--	---	-------------------------

CARICHI PERMANENTI [g_2]	=	17,37 kNm ⁻¹
------------------------------------	---	-------------------------

RITIRO DEL CALCESTRUZZO [ε_2]

Forza assiale N	=	-2978,08 kN
Momento flettente M	=	1679,64 kNm

VARIAZIONE TERMICA NEGATIVA [ε_3]

Forza assiale N	=	-2277,78 kN
Momento flettente M	=	583,11 kNm

VARIAZIONE TERMICA POSITIVA [ε_3]

Forza assiale N	=	4555,57 kN
Momento flettente M	=	-1166,23 kNm

AZIONE DEL VENTO [q_5]	=	7,88 kNm ⁻¹
----------------------------------	---	------------------------

CARICHI MOBILI CON EFFETTO DINAMICO [$q_1 \times q_2$]

Carico dovuto al sistema Tridem [P]	=	571,88 × ϕ kN
Carico uniforme [q]	=	37,6 × ϕ kNm ⁻¹

n.b.

Forza assiale positiva = trazione

Momento f. positivo tende le fibre inferiori

ϕ = coefficiente dinamico

RIEPILOGO DEI CARICHI AGENTI SULLA TRAVE PIÙ SOLLECITATA

3 Analisi strutturale

3.1 Criteri generali

L'analisi strutturale è stata condotta per la trave maggiormente sollecitata (trave di destra) su un modello agli elementi finiti di tipo "beam" ottenuto discretizzando la struttura in conci di caratteristiche geometriche ed inerziali costanti. Le analisi sono state eseguite per le seguenti condizioni di carico:

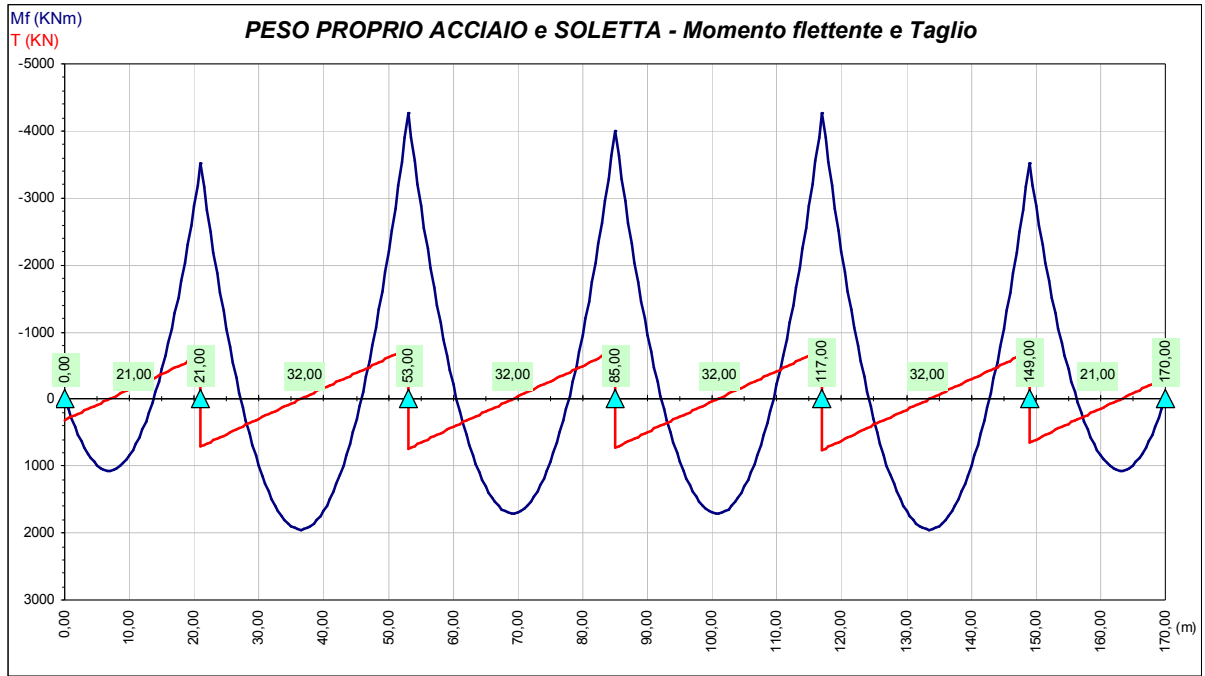
- a) peso proprio della carpenteria metallica e della soletta (modello solo acciaio)
- b) carichi permanenti (modello per carichi di lunga durata);
- c) ritiro (modello per carichi di lunga durata);
- d) variazione termica differenziale (modello per carichi di breve durata);
- e) carichi mobili (modello per carichi di breve durata);
- f) vento (modello per carichi di breve durata).

La larghezza collaborante della soletta, per la definizione delle caratteristiche inerziali della sezione è stata valutata secondo le indicazioni della norma CNR 10016.

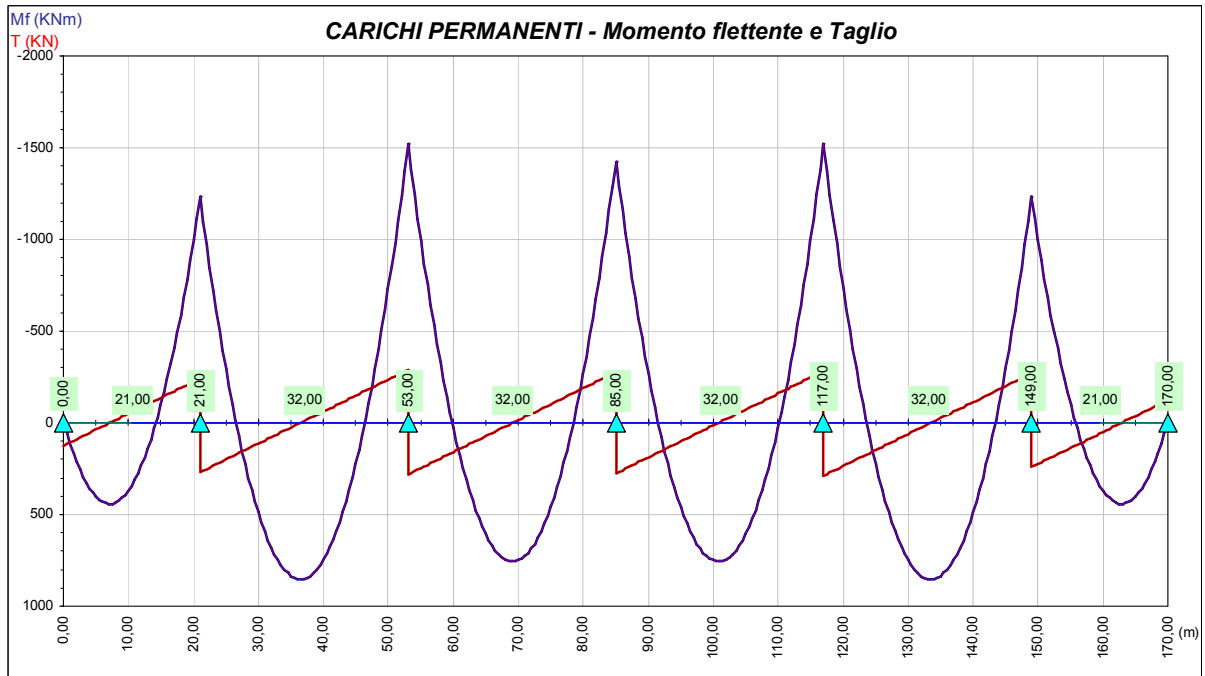
Ai fini delle verifiche di resistenza, per quanto riguarda la condizione di carico a), la soletta è stata considerata realizzata in un unico getto. Con tale ipotesi si sovrastimano le tensioni sulle travi metalliche e quindi si perviene ad una verifica conservativa della sicurezza.

3.2 Sollecitazioni di progetto

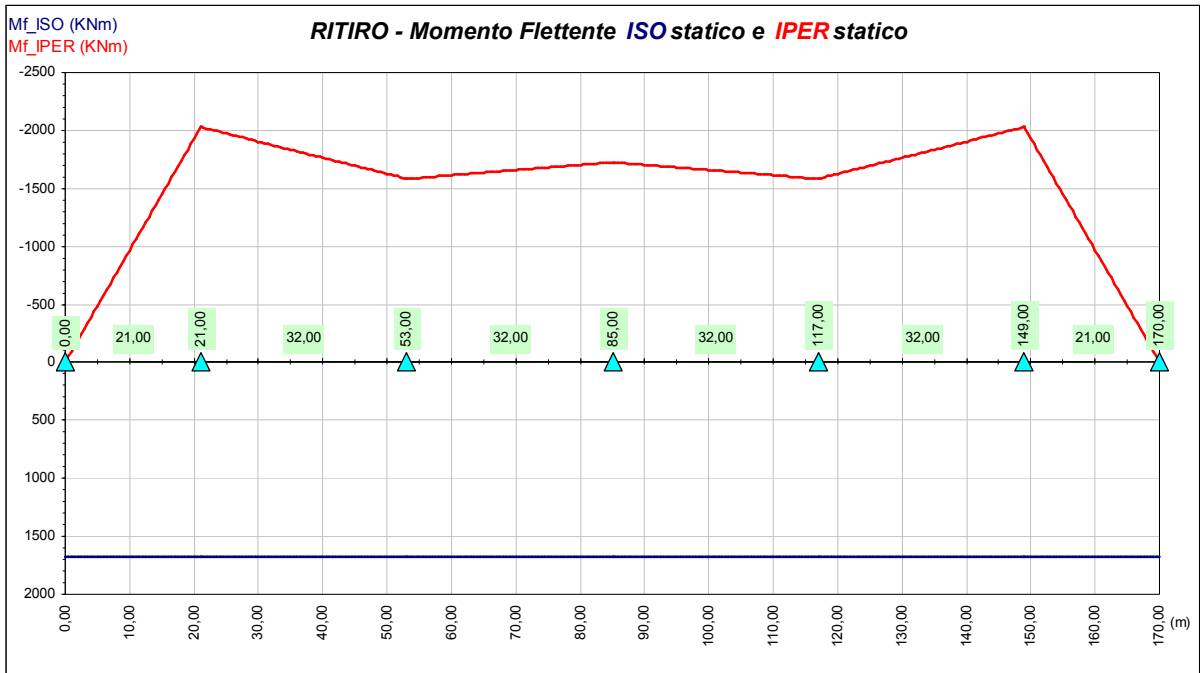
- a) peso proprio della carpenteria metallica e della soletta (modello solo acciaio);



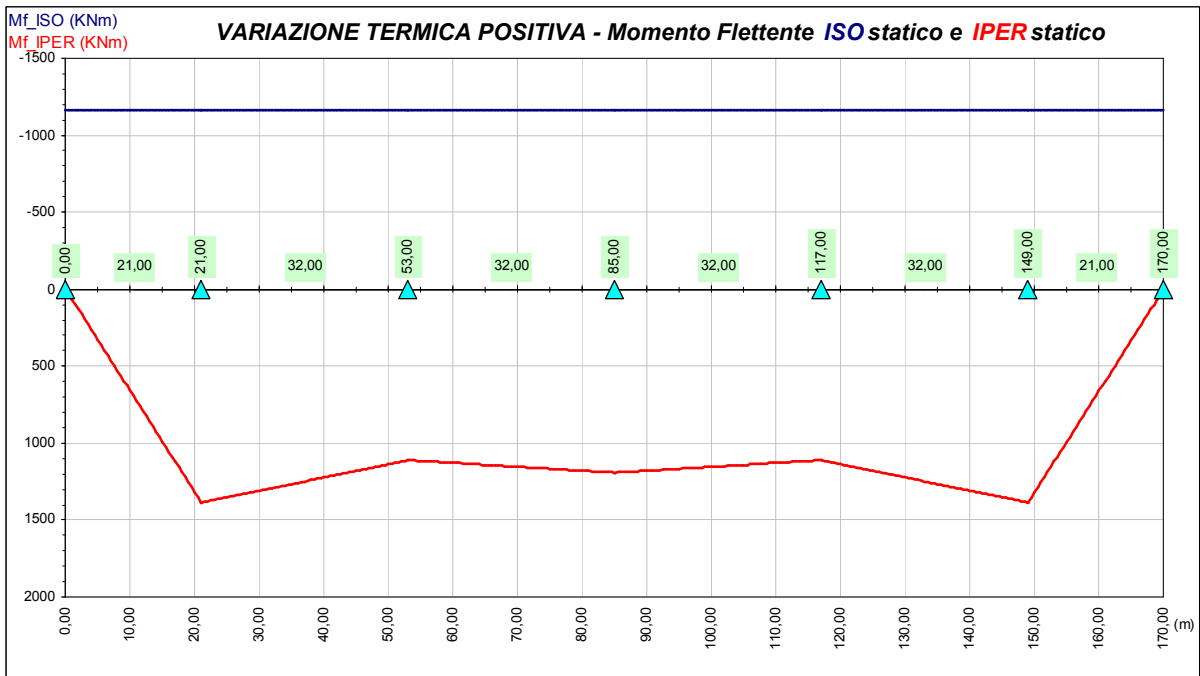
- b) carichi permanenti (modello per carichi di lunga durata);

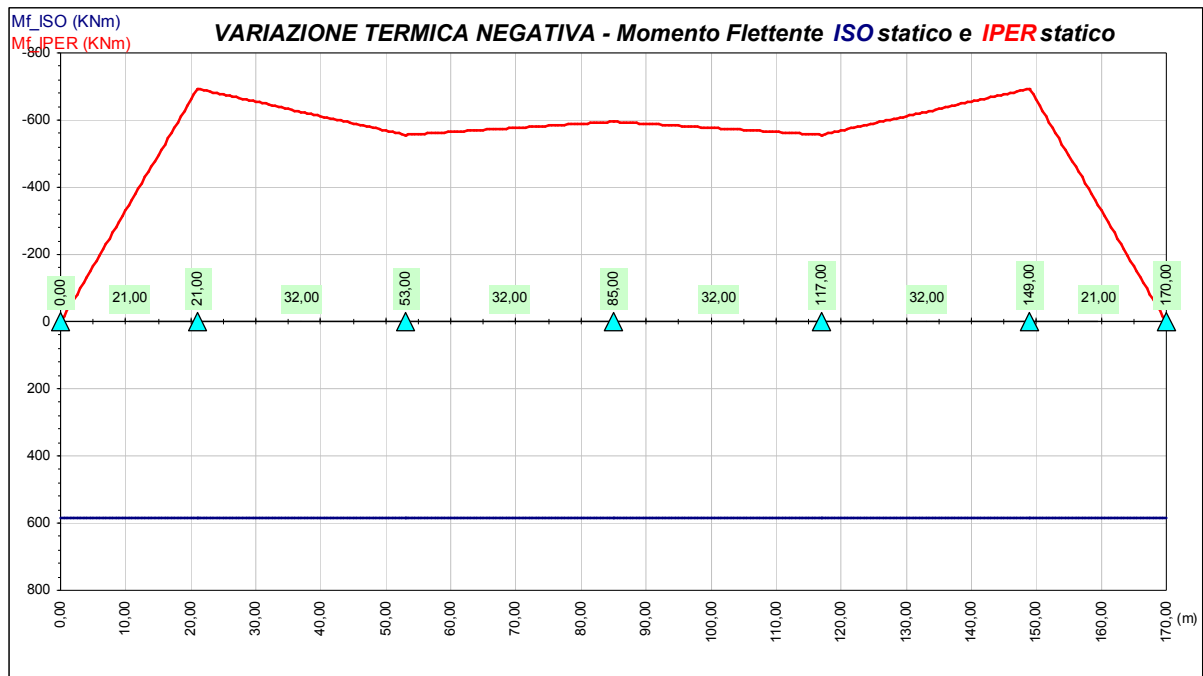


- c) ritiro (modello per carichi di lunga durata);

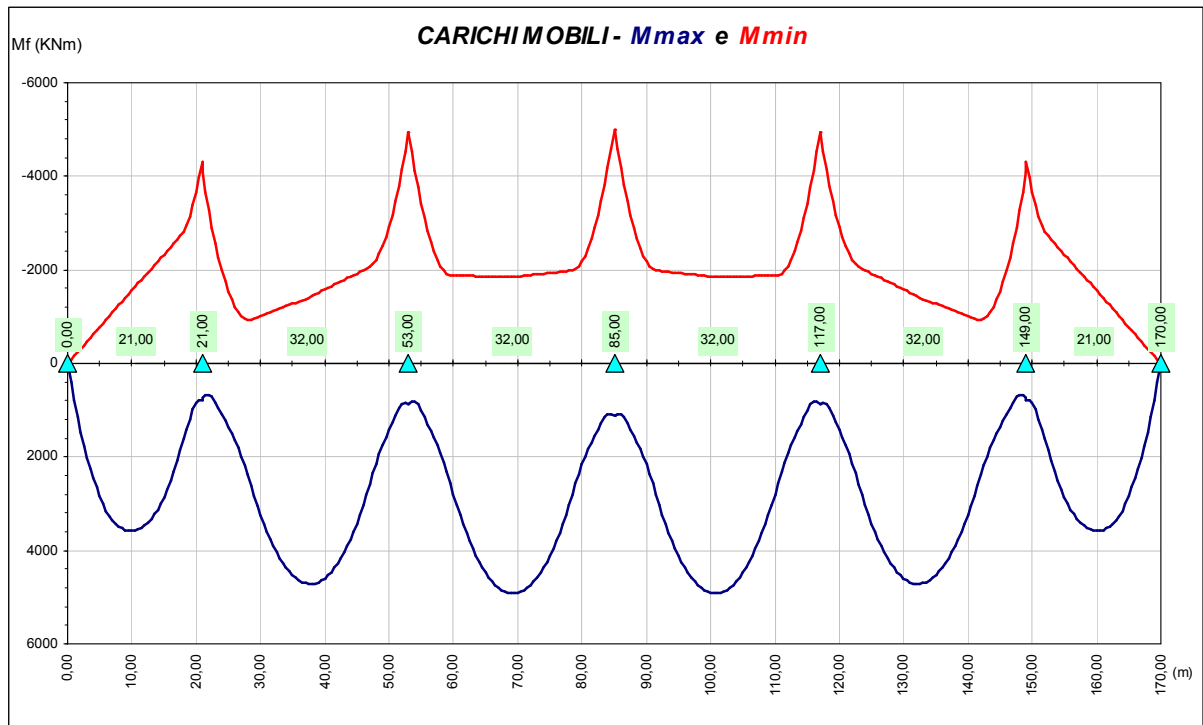


- d) variazione termica differenziale (modello per carichi di breve durata);





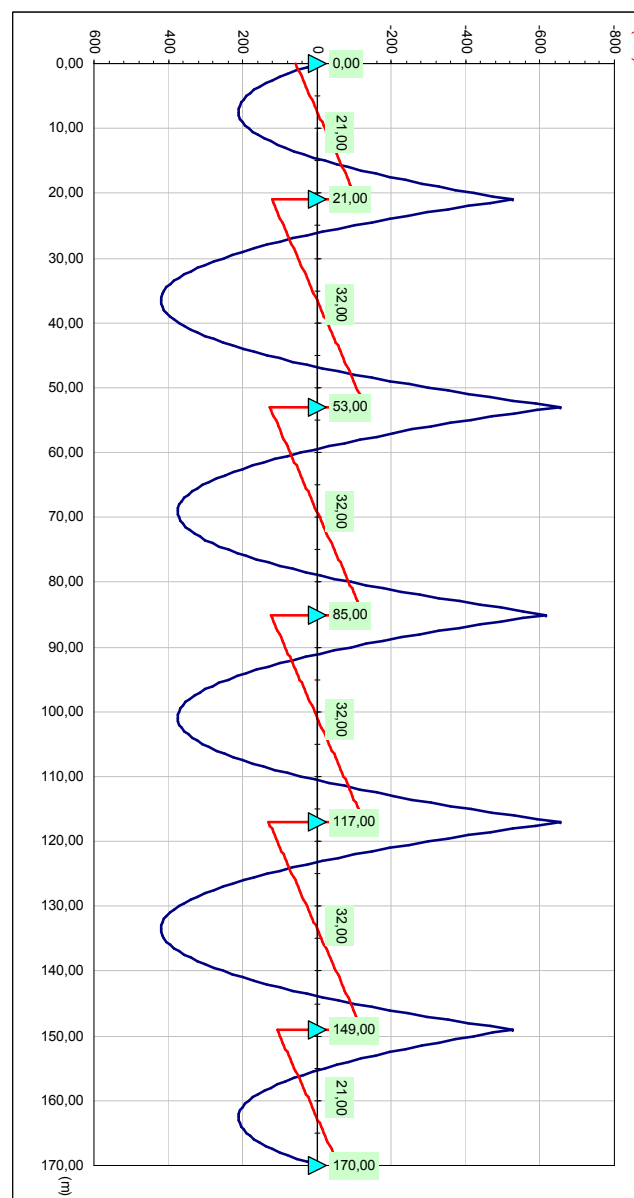
- e) carichi mobili (modello per carichi di breve durata);





- f) vento (modello per carichi di breve durata).

VENTO - Momento flettente e Taglio



4 Verifiche dell'impalcato

4.1 Verifica di resistenza travi principali

Le verifiche sono condotte per le seguenti combinazioni di carico:

$$\text{I) } F_d = G_k + Q_k + 0,6 Q_5 + \varepsilon_2 + \varepsilon_3$$

essendo:

- G_k pesi propri e carichi permanenti ($g_1 + g_2$);
- Q_k carichi mobili ($q_1 + q_2$);
- Q_5 azione del vento (q_5);
- ε_2 ritiro del calcestruzzo;
- $\varepsilon_3 = (-5 \text{ } ^\circ\text{C})$ variazione termica differenziale negativa ;

$$\text{II) } F_d = G_k + Q_k + 0,6 Q_5 + \varepsilon_3$$

dove:

- $\varepsilon_3 = (+10 \text{ } ^\circ\text{C})$ variazione termica differenziale positiva

Per quanto riguarda i carichi mobili, sezione per sezione, sono considerati i massimi e minimi del momento flettente con i valori del taglio concomitante e i tagli massimi e minimi con i concomitanti momenti flettenti, al fine di determinare la più gravosa condizione di verifica.

Nelle verifiche di resistenza è omessa (per il solo sisma verticale) la combinazione AV definita al punto 3.9 del DM 04 maggio 1990 riguardante i ponti stradali, in quanto non dimensionante e non significativa in rapporto alle combinazioni analizzate, con carichi accidentali come condizione dominante. Secondo il punto 3.9, le azioni sismiche verticali devono essere calcolate in assenza di carico accidentale, considerando le sole masse corrispondenti ai pesi propri ed ai sovraccarichi permanenti, ed in accordo con le vigenti “Norme tecniche per le costruzioni in zona sismica” (DM 16 gennaio 1996). Le azioni verticali da applicare alle strutture mediante analisi statica sono equivalenti ad un sistema di forze uniformemente distribuite, proporzionali alle masse presenti, con valore pari a:

$$F_v = m \cdot C \cdot I \cdot W = 0,168 \cdot W$$

essendo:

- C il coefficiente di intensità sismica (0,07 per zone di II categoria);
- m = 2;
- I = 1,2 il coefficiente di protezione sismica
- W peso complessivo masse.

Il viadotto ha un impalcato di larghezza pari a 9,5 m ed un peso complessivo a metro lineare di circa 125 kN/m. Nella combinazione di sisma verticale andrebbe considerato un carico uniformemente distribuito di 21 kN/m (pari al 16,8 % del peso proprio).

Gli impalcati sono stati calcolati considerando nell'ingombro della carreggiata due corsie convenzionali di carico, per un carico totale di 1,50 volte la singola colonna di carico nominale ($q_{1a} + q_{1b}$), da maggiorare successivamente in base al coefficiente di amplificazione dinamica. Di conseguenza, il carico accidentale medio uniformemente distribuito è sicuramente uguale o superiore a $q_{1b} \times 1,50 = 30 \text{ kN/m} \times 1,50 = 45 \text{ kN/m}$ ovvero almeno pari al 36 % del peso della struttura. Inoltre, i carichi accidentali sono posizionati in base alle linee di influenza, in modo da ottenere le massime sollecitazioni, mentre il carico sismico uniformemente distribuito agisce sull'intera struttura. Appare quindi lecita la scelta di trascurare la combinazione AV per il sisma verticale, in rapporto alle combinazioni di verifica I) e II) sopra descritte.

Le resistenze di progetto dei materiali costituenti la sezione sono:

Acciaio da carpenteria Fe 510:

$$\text{per elementi di spessore } t \leq 40 \text{ mm} \Rightarrow \sigma_{a,amm} = 240 \text{ MPa}$$

$$\text{per elementi di spessore } t > 40 \text{ mm} \Rightarrow \sigma_{a,amm} = 210 \text{ MPa}$$

Calcestruzzo R_{ck} 40:

$$\Rightarrow \sigma_{c,amm} = 12,25 \text{ MPa}$$

Acciaio per armature FeB44K:

$$\Rightarrow \sigma_{s,amm} = 255 \text{ MPa}$$

Nelle zone a momento negativo si trascura il contributo del calcestruzzo tesio e si considera agente il solo effetto iperstatico del ritiro e/o della variazione termica.

Le verifiche sono condotte con l'ausilio di un codice di calcolo automatico sulle sezioni più significative dell'impalcato. Le grandezze geometriche ed inerziali delle sezioni tengono conto delle fasi costruttive e di esercizio a breve e a lungo termine.

Il calcolo delle tensioni è stato effettuato sezione per sezione, con le proprietà inerziali della sezione tipo associata all'azione presa in considerazione.

In presenza di stati di sollecitazione pluriassiali la tensione ideale di confronto è determinata mediante l'espressione indicata nella CNR - UNI 10011.

Le tensioni ideali calcolate in riferimento a ciascuna sezione tipo sono state sommate fra loro e quindi confrontate con le tensioni di progetto.

Si riportano nel seguito le rappresentazioni grafiche delle verifiche per le combinazioni di carico precedentemente individuate (confronto tra tensioni ideali di calcolo e tensioni di progetto).

Le curve di colore blu (grigio scuro) rappresentano l'inviluppo delle tensioni ideali di calcolo per le combinazioni di carico precedentemente individuate, mentre quelle rosse (grigio chiaro) le tensioni resistenti di progetto.

La verifica è stata effettuata nelle 5 fibre di riferimento della sezione composta specificate nella **Errore. L'origine riferimento non è stata trovata.** e sull'armatura superiore della soletta.

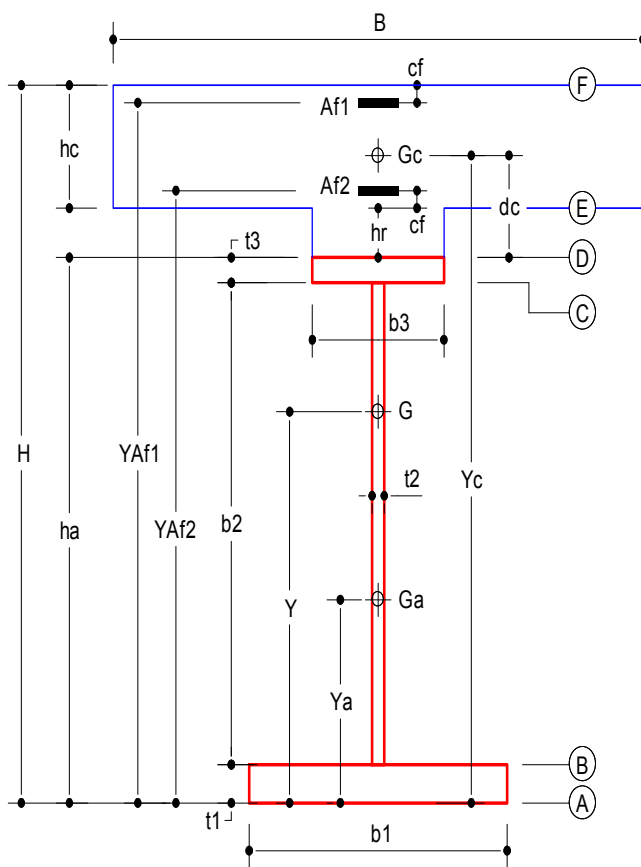
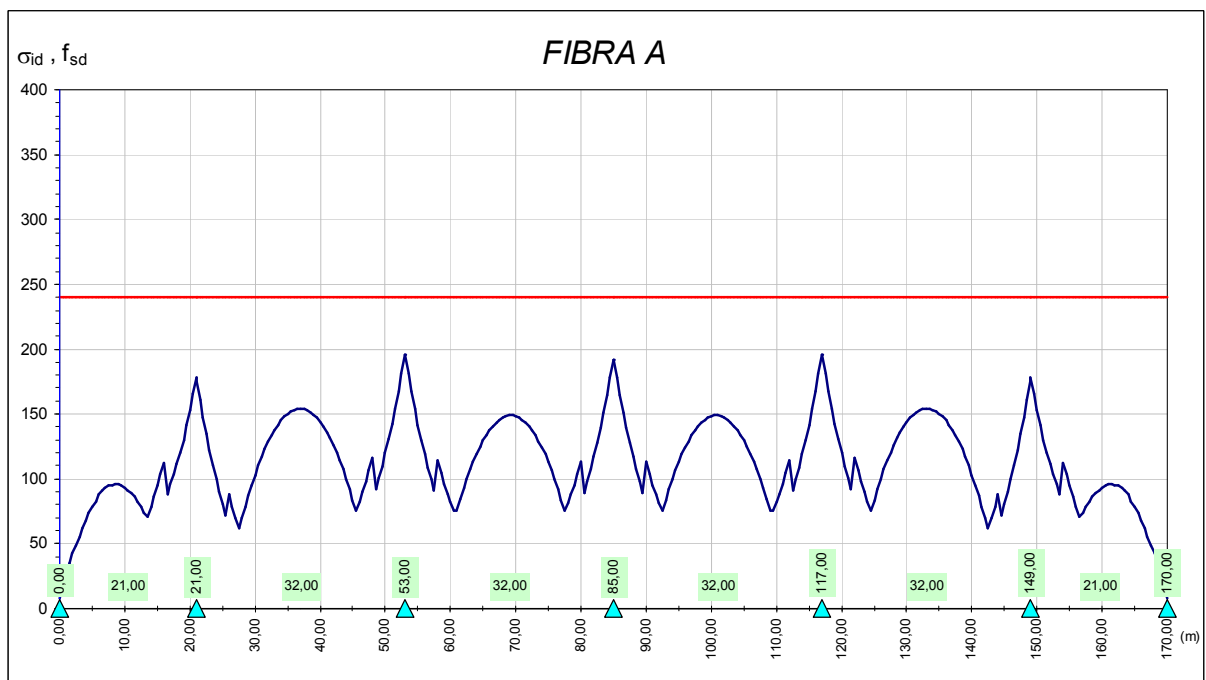
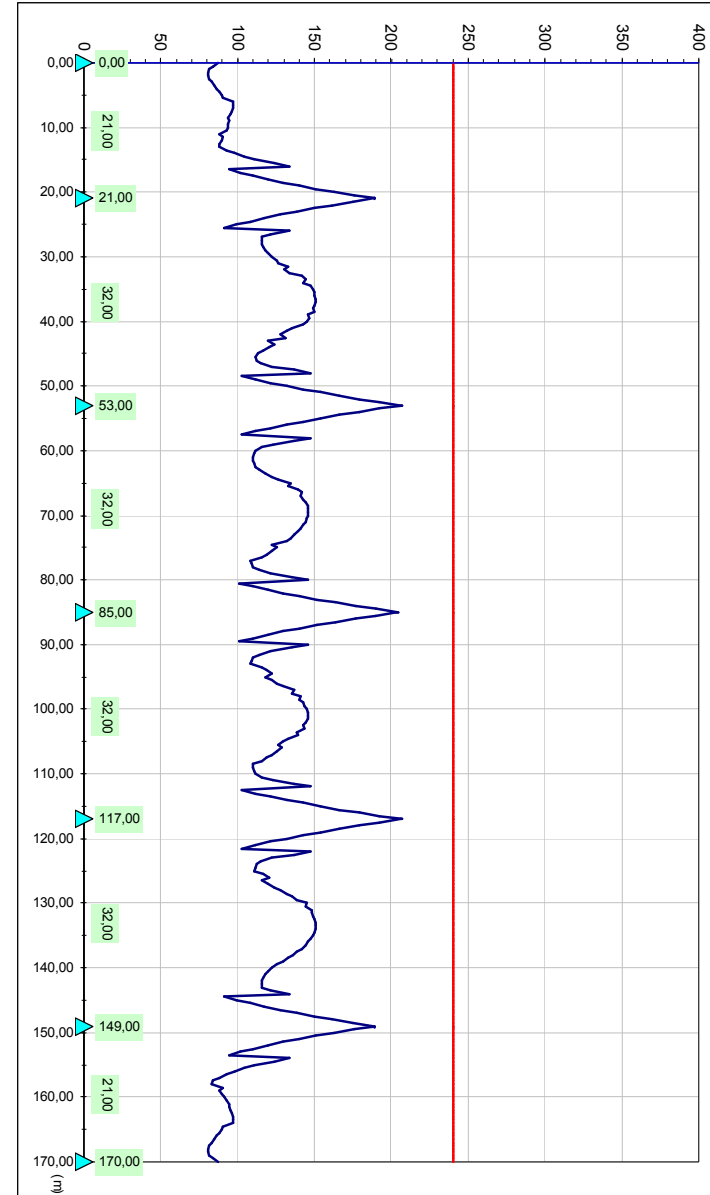


Figura 4.1 – Fibre di riferimento per le verifiche di resistenza



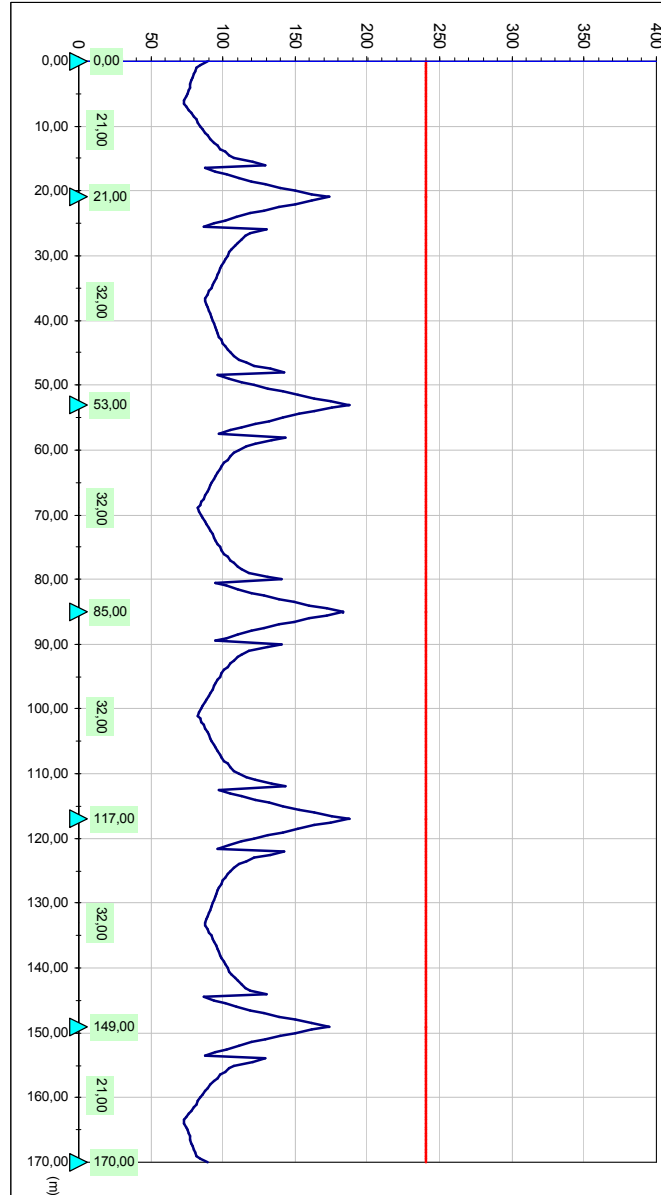
σ_{id}, f_{sd}

FIBRA B



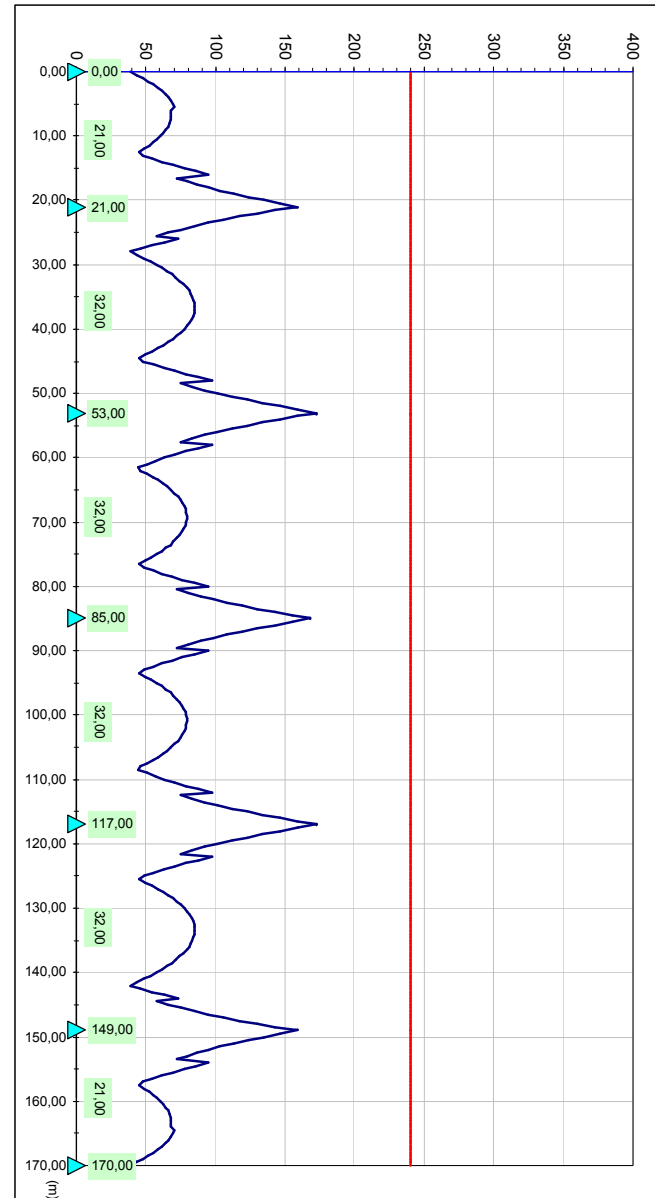
σ_{id}, f_{sd}

FIBRA C



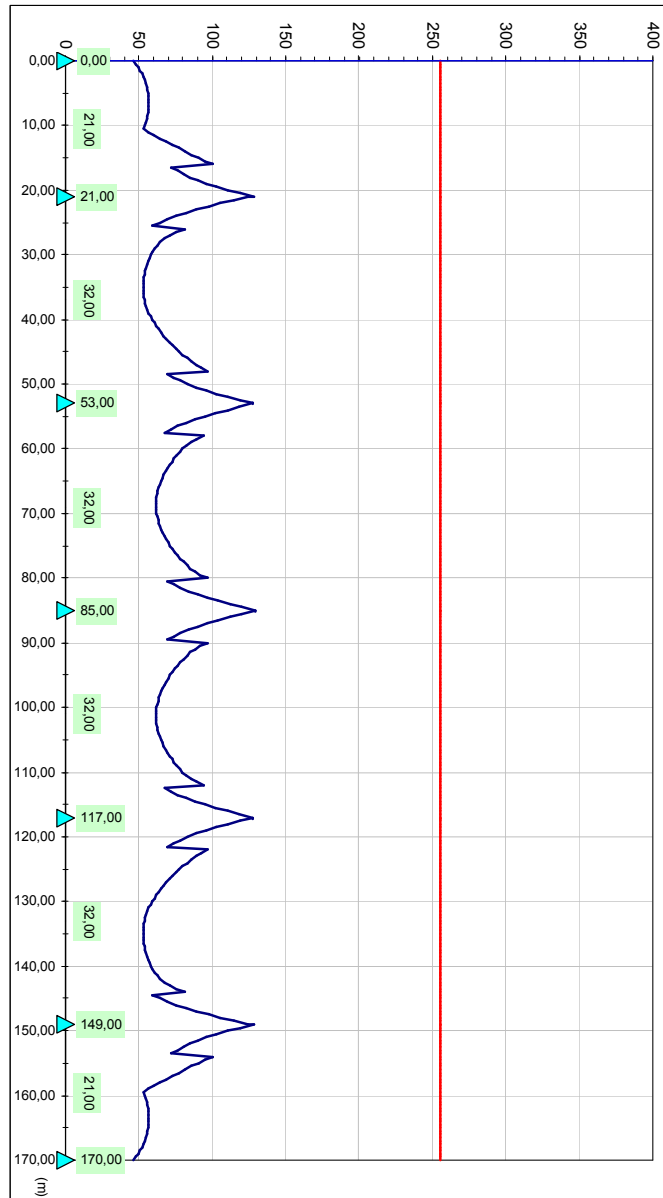
σ_{ad}, f_{sd}

FIBRA D



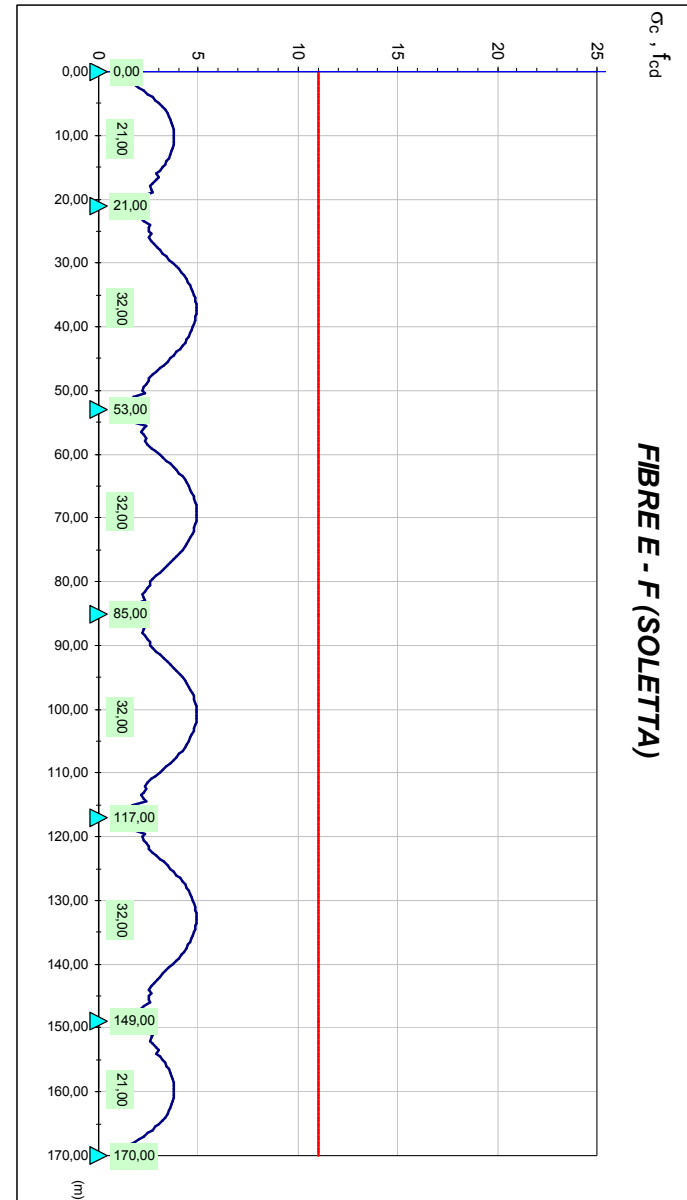
σ_{ad}, f_{sd}

ARMATURA LENTA



σ_c , f_{cd}

FIBRE E - F (SOLETTA)



4.2 Verifica di stabilità dei pannelli d'anima delle travi principali

Nelle pagine successive si riportano il dettaglio della verifica del pannello maggiormente sollecitato e la verifica sintetica di tutti i pannelli individuati.

Caratteristiche del pannello			
Pannello	N_pan	14	
Ascissa inizio	Inizio	57,57	m
Ascissa fine	Fine	62,14	m
Lunghezza del pannello	a	457,0	cm
Campata	n°	3	

Sollecitazioni di verifica			
Combinazione	n°	1	
Condizione carichi mobili		V min	
Forza assiale	N	-909	kN
Momento flettente	M	-2519	kNm
Taglio	V	1639	kN
Tensione punto C (bordo superiore)	σc	47,8	N/mm ²
Tensione punto B (bordo inferiore)	σb	-62,9	N/mm ²
Tensione tangenziale	τ	66,8	N/mm ²

Verifica di stabilità			
Tensione di compressione massima (σ1)	σ1	-62,9	N/mm ²
Tensione all'altro estremo (σ2)	ψ.σ1	47,8	N/mm ²
Tensione tangenziale	τ	66,8	N/mm ²
Tensione dovuta ad N	σN =	-7,6	N/mm ²
Tensione dovuta ad M	σM =	-55,4	N/mm ²
Coefficiente ψ (ψ= σ2/σ1)	ψ	-0,76	
Coefficiente α (α= a/b_ani)	α	2,97	
Modulo elastico dell'acciaio	E_acciaio	206000	N/mm ²
Tensione di snervamento (fsy)	fsy	355	N/mm ²
Resistenza di calcolo fsd (fsd = fsy/γm)	fsd	355	N/mm ²
Coefficiente di imbozzamento	Kσ =	22,89	
Coefficiente di imbozzamento	Kτ =	5,84	
Coefficiente correttivo di kσ e kτ		1,26	
Tensione di riferimento	σcr,0 =	20,0	N/mm ²
	σcr =	-457,8	N/mm ²
	τcr =	116,8	N/mm ²
Tensione critica ideale	σcr,id =	221,5	N/mm ²
Tensione ideale	σid =	131,8	N/mm ²
Coefficiente per metodo di verifica	v =	1,5	
	β =	1,00	
VERIFICA	(σcr,id / σid) ≥ β × v	SODDISFATTA	
	σcr,id / σid =	1,681	> 1,50

Tabella 4.1 – Verifica dettagliata del pannello n° 14

Pann.	Camp.	Ascissa	Sez.	Ascissa	Sez.	Lungh.	Ala superiore	Ala inferiore	Anima	Tipo	s,cr,id	coeff.	Cond.	Pos.	Sollecitazioni						
N°	N°	Iniziale	N°	Finale	N°	Pannello	b3	t3	b1	t1	b2	t2	sezione	-----	limite	Comb.	car.	sez.	N	M	T
		[m]		[m]		[m]	[cm]	[cm]	[cm]	[cm]	[cm]	[cm]	s,id	b x v	mob.	ver.	[kN]	[kNm]	[kN]		
1	1	0,00	1	4,20	10	4,20	70,0	3,000	90,0	3,000	154,0	1,500	eff.	1,987	1,500	2	V min	SX	806	307	1304
2	1	4,20	10	8,40	19	4,20	70,0	3,000	90,0	3,000	154,0	1,500	med.	2,871	1,500	1	M min	DX	-1848	1356	-331
3	1	8,40	19	12,60	29	4,20	70,0	3,000	90,0	3,000	154,0	1,500	eff.	2,178	1,500	1	V max	DX	-917	1297	-1043
4	1	12,60	29	16,80	38	4,20	70,0	3,190	90,0	3,190	153,6	1,690	med.	2,145	1,500	1	V max	DX	-996	-2517	-1535
5	1	16,80	38	21,00	47	4,20	70,0	4,000	90,0	4,000	152,0	2,500	eff.	2,067	1,500	1	M min	DX	-2158	-8567	-1642
6	2	21,00	48	25,57	58	4,57	70,0	4,000	90,0	4,000	152,0	2,500	eff.	2,077	1,500	1	M min	SX	-2066	-8290	1800
7	2	25,57	58	30,14	68	4,57	70,0	3,094	90,0	3,094	153,8	1,594	med.	1,760	1,500	1	V min	SX	-712	-1612	1583
8	2	30,14	68	34,71	78	4,57	70,0	3,000	90,0	3,000	154,0	1,500	eff.	2,258	1,500	1	V min	SX	-182	2319	1060
9	2	34,71	78	39,28	88	4,57	70,0	3,000	90,0	3,000	154,0	1,500	eff.	3,390	1,500	1	V max	DX	122	3161	-610
10	2	39,28	88	43,85	98	4,57	70,0	3,000	90,0	3,000	154,0	1,500	eff.	2,121	1,500	1	V max	DX	-599	1791	-1102
11	2	43,85	98	48,42	108	4,57	70,0	3,092	90,0	3,092	153,8	1,592	med.	1,682	1,500	1	V max	DX	-960	-2528	-1625
12	2	48,42	108	53,00	118	4,58	70,0	4,000	90,0	4,000	152,0	2,500	eff.	1,893	1,500	1	M min	DX	-2416	-9320	-1788
13	3	53,00	119	57,57	129	4,57	70,0	4,000	90,0	4,000	152,0	2,500	eff.	1,884	1,500	1	M min	SX	-2409	-9292	1846
14	3	57,57	129	62,14	139	4,57	70,0	3,094	90,0	3,094	153,8	1,594	med.	1,681	1,500	1	V min	SX	-909	-2519	1639
15	3	62,14	139	66,71	149	4,57	70,0	3,000	90,0	3,000	154,0	1,500	eff.	2,140	1,500	1	V min	SX	-440	1740	1116
16	3	66,71	149	71,28	159	4,57	70,0	3,000	90,0	3,000	154,0	1,500	eff.	3,520	1,500	1	V min	SX	355	3090	623
17	3	71,28	159	75,85	169	4,57	70,0	3,000	90,0	3,000	154,0	1,500	eff.	2,155	1,500	1	V max	DX	-520	1799	-1094
18	3	75,85	169	80,42	179	4,57	70,0	3,092	90,0	3,092	153,8	1,592	med.	1,692	1,500	1	V max	DX	-948	-2406	-1617
19	3	80,42	179	85,00	189	4,58	70,0	4,000	90,0	4,000	152,0	2,500	eff.	1,912	1,500	1	M min	DX	-2440	-9101	-1824
20	4	85,00	190	89,57	200	4,57	70,0	4,000	90,0	4,000	152,0	2,500	eff.	1,920	1,500	1	M min	SX	-2441	-9121	1779
21	4	89,57	200	94,14	210	4,57	70,0	3,094	90,0	3,094	153,8	1,594	med.	1,697	1,500	1	V min	SX	-952	-2414	1618
22	4	94,14	210	98,71	220	4,57	70,0	3,000	90,0	3,000	154,0	1,500	eff.	2,152	1,500	1	V min	SX	-523	1794	1095
23	4	98,71	220	103,28	230	4,57	70,0	3,000	90,0	3,000	154,0	1,500	eff.	3,523	1,500	1	V max	DX	356	3091	-622
24	4	103,28	230	107,85	240	4,57	70,0	3,000	90,0	3,000	154,0	1,500	eff.	2,142	1,500	1	V max	DX	-437	1745	-1115
25	4	107,85	240	112,42	250	4,57	70,0	3,092	90,0	3,092	153,8	1,592	med.	1,675	1,500	1	V max	DX	-904	-2510	-1638
26	4	112,42	250	117,00	260	4,58	70,0	4,000	90,0	4,000	152,0	2,500	eff.	1,884	1,500	1	M min	DX	-2409	-9292	-1846
27	5	117,00	261	121,57	271	4,57	70,0	4,000	90,0	4,000	152,0	2,500	eff.	1,893	1,500	1	M min	SX	-2416	-9320	1788
28	5	121,57	271	126,14	281	4,57	70,0	3,094	90,0	3,094	153,8	1,594	med.	1,687	1,500	1	V min	SX	-965	-2536	1626
29	5	126,14	281	130,71	291	4,57	70,0	3,000	90,0	3,000	154,0	1,500	eff.	2,119	1,500	1	V min	SX	-602	1786	1104
30	5	130,71	291	135,28	301	4,57	70,0	3,000	90,0	3,000	154,0	1,500	eff.	3,387	1,500	1	V min	SX	122	3159	611
31	5	135,28	301	139,85	311	4,57	70,0	3,000	90,0	3,000	154,0	1,500	eff.	2,260	1,500	1	V max	DX	-180	2324	-1059
32	5	139,85	311	144,42	321	4,57	70,0	3,092	90,0	3,092	153,8	1,592	med.	1,754	1,500	1	V max	DX	-708	-1604	-1582
33	5	144,42	321	149,00	331	4,58	70,0	4,000	90,0	4,000	152,0	2,500	eff.	2,077	1,500	1	M min	DX	-2065	-8291	-1800
34	6	149,00	332	153,20	341	4,20	70,0	4,000	90,0	4,000	152,0	2,500	eff.	2,067	1,500	1	M min	SX	-2158	-8567	1642
35	6	153,20	341	157,40	350	4,20	70,0	3,190	90,0	3,190	153,6	1,690	med.	2,145	1,500	1	V min	SX	-996	-2517	1535
36	6	157,40	350	161,60	360	4,20	70,0	3,000	90,0	3,000	154,0	1,500	eff.	2,178	1,500	1	V min	SX	-9		

PARTE II: APPOGGI, GIUNTI E DISPOSITIVI ANTISISMICI

1 Appoggi e Dispositivi Antisismici

Per la determinazione delle massime reazioni verticali degli appoggi sono state considerate le seguenti due condizioni di carico:

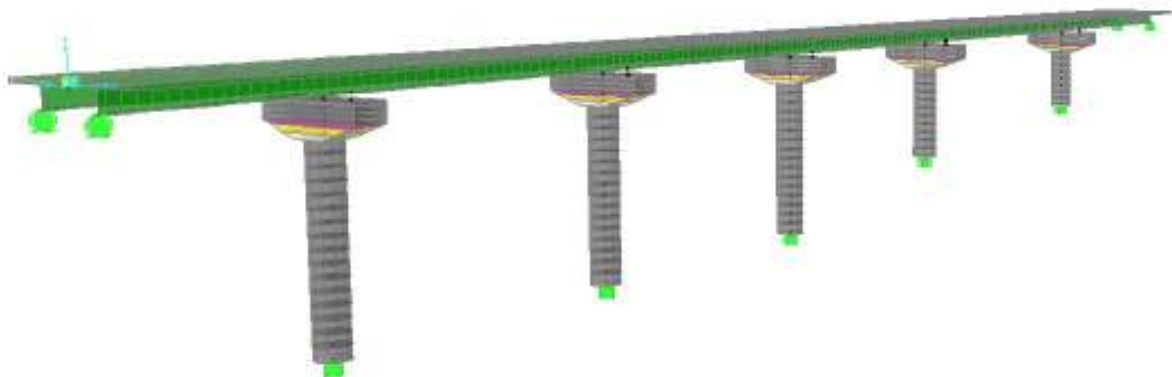
- 1) P.p. acciaio + p.p. soletta + permanenti + ritiro + vento + ΔT_{neg} + carichi mobili;
- 2) P.p. acciaio + p.p. soletta + permanenti + vento + ΔT_{pos} + carichi mobili.

Nella tabella seguente sono riportati i valori delle reazioni verticali ed il calcolo delle capacità verticali degli appoggi.

Tipo Struttura	N°	Peso Proprio Carp.	Soletta	Carichi Permanentii	Ritiro	Vento	Δt Negativa	Δt Positiva	Carichi Mobili (q1+q2)	Comb. 1	Comb. 2	V (kN)
Spalla	C	61	252	124	-97	58	-33	66	869	1233	1429	2000
Pila	48	276	1091	511	111	230	37	-75	1646	3902	3680	5000
Pila	47	303	1204	569	-18	257	-6	11	1736	4045	4080	5000
Pila FISSA	46	293	1164	551	9	250	2	-5	1743	4012	3995	5000
Pila	45	303	1204	569	-18	257	-6	11	1736	4045	4080	5000
Pila	44	276	1091	511	111	230	37	-75	1646	3902	3679	5000
Spalla	43	61	252	124	-97	58	-33	66	869	1233	1429	2000

Reazioni (Rv) e capacità verticale (V) appoggi

Le azioni orizzontali trasversali e longitudinali agenti sugli appoggi per effetto del sisma sono state calcolate mediante analisi dinamica eseguita sul modello agli elementi finiti rappresentato nella figura seguente.



Modello agli elementi finiti per l' Analisi Sismica

Lo spettro di progetto in accelerazione è dato dalla seguente funzione:

$$S_a(T) = C \cdot R \cdot \varepsilon \cdot \beta \cdot I \cdot g$$

dove:

- T è il periodo di vibrazione della struttura;
- $C = (S-2)/100 = 0,07$ è il coefficiente di intensità sismica (zona di 2° cat.);
- $R = 1,0$ per $T \leq 0,8$ s – $R = 0,862 / T^{2/3}$ per $T > 0,80$ s
è il coefficiente di risposta;
- $I = 1,2$ è il coefficiente di protezione sismica;
- $\varepsilon = 1,2$ è il coefficiente di fondazione;
- $\beta = 2,5$ è il coefficiente di struttura
(per il progetto degli apparecchi d'appoggio);
- $g = 9,81 \text{ ms}^{-2}$ è l'accelerazione di gravità.

Le modalità di valutazione degli scorrimenti di progetto degli appoggi sulle pile 43,48 e sulla spalla C sono riportate nel paragrafo 2, unitamente al calcolo dell'escursione dei giunti.

Nella tabella seguente è riportato il riepilogo dei carichi e degli scorrimenti di progetto degli appoggi.

TRAVE SINISTRA					Tipo Struttura	N°	Progressiva Asse appoggi	Luce Campata	TRAVE DESTRA				
V (kN)	HL (kN)	HT (kN)	SL (mm)	ST (mm)					V (kN)	HL (kN)	HT (kN)	SL (mm)	ST (mm)
2000	-	700	± 120	-	Spalla	C	0,00		2000	-	-	± 120	± 15
5000	-	700	± 120	-	Pila	48	21,00	21,00	5000	-	700	± 120	-
5000	1500	700	± 20	-	Pila	47	53,00	32,00	5000	1500	700	± 20	-
5000	1500	700	± 0	-	Pila FISSA	46	85,00	32,00	5000	1500	700	± 0	-
5000	1000	700	± 20	-	Pila	45	117,00	32,00	5000	1000	700	± 20	-
5000	1000	700	± 40	-	Pila	44	149,00	32,00	5000	1000	700	± 40	-
2000	-	700	± 120	-	Spalla	43	170,00	21,00	2000	-	-	± 120	± 15

Tabella riassuntiva dei carichi e degli scorrimenti di progetto degli appoggi

2 Giunti e scorrimenti degli appoggi di estremità

L'escursione dei giunti e gli scorrimenti degli appoggi di estremità sono stati dimensionati considerando l'azione sismica e, a favore di sicurezza, una variazione termica di ± 40 °C sull'intero impalcato intendendo così inglobati anche gli effetti del ritiro della soletta in calcestruzzo.

L'entità dell'escursione totale dei giunti e degli apparecchi d'appoggio è stata valutata nello spirito della seguente formulazione contenuta nell' "Istruzione 44 b" relativa ai ponti ferroviari, che fa riferimento ad una trave continua con appoggio fisso iniziale:

$$E_L = K_1 \cdot (2 \cdot K_2 \cdot D_t + 4 \cdot K_2 \cdot D_e + 2 \cdot K_2 \cdot D_{RL})$$

dove:

- $K_1 = 0.7$, coefficiente che tiene conto della non contemporaneità dei valori massimi corrispondenti a ciascun evento sismico;
- $K_2 = 0.65$, coefficiente che tiene conto della effettiva probabilità che si verifichi il moto in opposizione di fase dei due elementi indipendenti;
- D_t = dilatazione termica in direzione longitudinale associata alla variazione termica uniforme;
- $D_e = \eta \cdot \phi$ = spostamento longitudinale associato all'azione sismica, con $\phi=9$;
- D_{RL} = spostamento orizzontale (longitudinale) relativo fra strutture di fondazione contigue distanti L, definito come $1,5 \cdot (L/1000)$ per zona sismica di 2^a categoria;

Nel caso in esame, poiché lo schema statico quello di trave continua con appoggio fisso centrale, la formula indicata nelle "Istruzioni 44 b" viene applicata nella seguente maniera:

$$E_L = K_1 \cdot [2 \cdot K_2 \cdot (D_{t,s} + D_{t,d}) + 2 \cdot K_2 \cdot (D_{e,s} + D_{e,d}) + 2 \cdot K_2 \cdot D_{RL}]$$

dove:

- i pedici “*s*” e “*d*” si riferiscono al generico tronco posizionato alla “*destra*” o “*sinistra*” del giunto considerato.

Il giunto fra le testate di due travi adiacenti deve consentire un’escursione totale pari a $\pm E_L/2$.

La corsa degli apparecchi di appoggio mobili deve essere non inferiore a $\pm E_L/2$. Inoltre al fine di scongiurare la caduta dell’impalcato deve essere garantito un ulteriore franco, di corsa pari a $E_L/8$ nella sola direzione d’allontanamento dell’impalcato dalla pila.

I valori delle escursioni dei giunti fra gli impalcati e degli scorimenti di progetto degli appoggi di estremità, calcolati secondo le precedenti indicazioni, sono riportati nelle tavole di progetto.

APPENDICE 1: Sollecitazioni di Calcolo dell' Impalcato

N°	[m]	Carichi mobili + Effetto dinamico												Ritiro:effetti isostatici Ritiro: eff.iper Var.Term.Pos.:eff.iso V.T.+ : eff.iper Var.Term.Neg.:eff.iso V.T.- : eff.iper																
		Ascissa	Sez.	Acc. + Soletta	Car. Permanentni	Tmin	Tmax	Mmin	Mmax	Azione del Vento	Soletta	Strutt. Composta	Strutt. Composta	Soletta	Strutt. Composta	Strutt. Composta	Soletta	Strutt. Composta	Strutt. Composta	Soletta	Strutt. Composta	Strutt. Composta	Soletta	Strutt. Composta	Strutt. Composta					
1	0,00	1	312	0	124	0	867	0	-155	0	0	0	58	0	2978	1679	-97	0	-4556	4556	-1166	66	0	2278	-2278	583	-33	0		
2	0,50	1	290	150	115	60	833	417	-156	-72	-155	-78	580	417	54	28	2978	1679	-97	-48	-4556	4556	-1166	66	33	2278	-2278	583	-33	-17
3	1,00	1	267	290	107	115	800	800	-157	-132	-155	-155	547	800	50	54	2978	1679	-97	-97	-4556	4556	-1166	66	66	2278	-2278	583	-33	-33
4	1,50	1	244	417	98	166	768	1152	-164	135	-155	-233	515	1152	46	78	2978	1679	-97	-145	-4556	4556	-1166	66	99	2278	-2278	583	-33	-50
5	2,00	1	221	533	89	213	736	1473	-178	278	-155	-311	483	1473	42	100	2978	1679	-97	-193	-4556	4556	-1166	66	132	2278	-2278	583	-33	-66
6	2,50	1	198	638	81	256	705	1764	-192	406	-155	-388	452	1764	38	120	2978	1679	-97	-242	-4556	4556	-1166	66	165	2278	-2278	583	-33	-83
7	3,00	1	175	731	72	294	675	2026	-206	521	-155	-466	422	2026	34	138	2978	1679	-97	-290	-4556	4556	-1166	66	198	2278	-2278	583	-33	-99
8	3,50	1	152	813	63	328	646	2260	-228	723	-155	-544	392	2260	30	154	2978	1679	-97	-338	-4556	4556	-1166	66	231	2278	-2278	583	-33	-116
9	4,00	1	129	884	54	357	617	2467	-249	904	-155	-621	363	2467	26	168	2978	1679	-97	-387	-4556	4556	-1166	66	264	2278	-2278	583	-33	-132
10	4,50	1	107	943	46	382	589	2649	-271	1063	-155	-699	168	2658	22	180	2978	1679	-97	-435	-4556	4556	-1166	66	297	2278	-2278	583	-33	-149
11	5,00	1	84	990	37	403	561	2806	-292	1202	-155	-777	139	2848	18	190	2978	1679	-97	-483	-4556	4556	-1166	66	330	2278	-2278	583	-33	-165
12	5,50	1	61	1027	28	419	535	2940	-313	1319	-155	-854	110	3012	14	198	2978	1679	-97	-531	-4556	4556	-1166	66	363	2278	-2278	583	-33	-182
13	6,00	2	38	1051	20	431	509	3051	-334	1417	-155	-932	335	3152	10	204	2978	1679	-97	-580	-4556	4556	-1166	66	396	2278	-2278	583	-33	-198
14	6,50	2	15	1065	11	439	483	3141	-355	1493	-155	-1010	54	3268	6	209	2978	1679	-97	-628	-4556	4556	-1166	66	429	2278	-2278	583	-33	-215
15	7,00	2	7	1067	2	442	459	3210	-376	1550	-155	-1087	28	3362	3	211	2978	1679	-97	-676	-4556	4556	-1166	66	462	2278	-2278	583	-33	-231
16	7,50	2	30	1057	-6	441	435	3261	-397	1586	-155	-1165	2	3434	-1	211	2978	1679	-97	-725	-4556	4556	-1166	66	495	2278	-2278	583	-33	-248
17	8,00	2	53	1037	-15	436	412	3293	-417	1603	-155	-1243	-24	3489	-5	209	2978	1679	-97	-773	-4556	4556	-1166	66	528	2278	-2278	583	-33	-264
18	8,50	2	75	1005	-24	426	389	3308	-438	1601	-155	-1320	-50	3531	-9	206	2978	1679	-97	-821	-4556	4556	-1166	66	561	2278	-2278	583	-33	-281
19	9,00	2	98	961	-33	412	367	3307	-458	1579	-155	-1398	-75	3560	-13	200	2978	1679	-97	-870	-4556	4556	-1166	66	594	2278	-2278	583	-33	-297
20	9,50	2	121	906	-41	393	346	3290	-479	1542	-155	-1476	-101	3576	-17	193	2978	1679	-97	-918	-4556	4556	-1166	66	627	2278	-2278	583	-33	-314
21	10,00	2	144	840	-50	370	326	3260	-500	1491	-155	-1553	-126	3579	-21	183	2978	1679	-97	-966	-4556	4556	-1166	66	660	2278	-2278	583	-33	-330
22	10,50	2	166	763	-59	343	306	3217	-521	1427	-155	-1631	-152	3569	-25	171	2978	1679	-97	-1015	-4556	4556	-1166	66	693	2278	-2278	583	-33	-347
23	11,00	2	189	674	-67	312	287	3161	-543	1348	-155	-1709	-76	3546	-29	158	2978	1679	-97	-1063	-4556	4556	-1166	66	726	2278	-2278	583	-33	-363
24	11,50	2	212	574	-76	276	269	3094	-566	1254	-155	-1786	-203	3509	-33	142	2978	1679	-97	-1111	-4556	4556	-1166	66	759	2278	-2278	583	-33	-380
25	12,00	2	234	462	-85	236	251	3017	-589	1144	-155	-1864	-229	3460	-37	125	2978	1679	-97	-1160	-4556	4556	-1166	66	792	2278	-2278	583	-33	-396
26	12,50	2	257	340	-93	191	234	2928	-612	1018	-155	-1942	-255	3397	-41	106	2978	1679	-97	-1208	-4556	4556	-1166	66	825	2278	-2278	583	-33	-413
27	13,00	2	280	205	-102	142	217	2826	-636	875	-155	-2019	-280	3320	-45	84	2978	1679	-97	-1256	-4556	4556	-1166	66	858	2278	-2278	583	-33	-429
28	13,50	2	302	60	-111	89	201	2711	-660	715	-155	-2097	-306	3230	-49	61	2978	1679	-97	-1305	-4556	4556	-1166	66	891	2278	-2278	583	-33	-446
29	14,00	2	325	-97	-120	31	185	2583	-685	538	-155	-2175	-332	3124	-53	36	2978	1679	-97	-1353	-4556	4556	-1166	66	924	2278	-2278	583	-33	-462

Sez.	Ascissa	Sez.	Acc. + Soletta	Car. Permanentni	Carichi mobili + Effetto dinamico										Ritiro:effetti isostatici										Ritiro: eff.iper										Var.Term.Pos.:eff.iso	V.T.+ : eff.iper	Var.Term.Neg.:eff.iso	V.T.- : eff.iper
					Tmin	Tmax	Mmin	Mmax	Azione del Vento	Soletta	Strutt. Composta	Strutt. Composta	Soletta	Strutt. Composta	Strutt. Composta	Soletta	Strutt. Composta	Strutt. Composta	Soletta	Strutt. Composta	Strutt. Composta	Soletta	Strutt. Composta	Strutt. Composta	Soletta	Strutt. Composta	Strutt. Composta	Soletta	Strutt. Composta	Strutt. Composta	Soletta	Strutt. Composta	Strutt. Composta	Soletta	Strutt. Composta	Strutt. Composta		
N°	[m]	Tipi	T [kN]	M [kNm]	T [kN]	M [kNm]	T [kN]	M [kNm]	T [kN]	M [kNm]	T [kN]	M [kNm]	T [kN]	M [kNm]	N [kN]	M [kNm]	N [kN]	M [kNm]	N [kN]	M [kNm]	N [kN]	M [kNm]	N [kN]	M [kNm]	N [kN]	M [kNm]	N [kN]	M [kNm]	N [kN]	M [kNm]	N [kN]	M [kNm]	N [kN]	M [kNm]	N [kN]			
66	32,00	2	203	1497	78	680	616	3017	-284	2496	-51	-1118	158	3902	35	341	2978	1679	14	-1876	-4556	4556	-1166	-9	1292	2278	-2278	583	4	-646								
67	32,50	2	181	1593	69	716	595	3135	-298	2561	-51	-1143	134	4038	31	357	2978	1679	14	-1869	-4556	4556	-1166	-9	1288	2278	-2278	583	4	-644								
68	33,00	2	158	1677	61	749	574	3238	-311	2622	-51	-1168	350	4161	28	372	2978	1679	14	-1862	-4556	4556	-1166	-9	1283	2278	-2278	583	4	-642								
69	33,50	2	135	1751	52	777	554	3328	-325	2677	-51	-1194	325	4272	24	385	2978	1679	14	-1855	-4556	4556	-1166	-9	1279	2278	-2278	583	4	-640								
70	34,00	2	112	1812	43	801	533	3404	-339	2726	-51	-1219	62	4370	20	396	2978	1679	14	-1848	-4556	4556	-1166	-9	1275	2278	-2278	583	4	-637								
71	34,50	2	90	1863	35	820	514	3466	-354	2768	-51	-1244	277	4457	16	405	2978	1679	14	-1841	-4556	4556	-1166	-9	1270	2278	-2278	583	4	-635								
72	35,00	2	67	1902	26	835	494	3516	-369	2804	-51	-1269	253	4531	12	411	2978	1679	14	-1834	-4556	4556	-1166	-9	1266	2278	-2278	583	4	-633								
73	35,50	2	44	1930	17	846	475	3554	-385	2831	-51	-1295	229	4593	8	416	2978	1679	14	-1827	-4556	4556	-1166	-9	1262	2278	-2278	583	4	-631								
74	36,00	2	22	1947	8	853	456	3580	-401	2850	-51	-1320	35	4642	4	419	2978	1679	14	-1820	-4556	4556	-1166	-9	1258	2278	-2278	583	4	-629								
75	36,50	2	-1	1952	0	855	438	3594	-418	2861	-51	-1345	59	4680	0	420	2978	1679	14	-1813	-4556	4556	-1166	-9	1253	2278	-2278	583	4	-627								
76	37,00	2	-24	1946	-9	852	420	3598	-435	2862	-51	-1371	156	4704	-4	419	2978	1679	14	-1806	-4556	4556	-1166	-9	1249	2278	-2278	583	4	-624								
77	37,50	2	-46	1928	-18	846	403	3591	-452	2853	-69	-1402	132	4717	-8	416	2978	1679	14	-1799	-4556	4556	-1166	-9	1245	2278	-2278	583	4	-622								
78	38,00	2	-69	1899	-26	835	385	3574	-470	2833	-69	-1437	108	4717	-12	411	2978	1679	14	-1792	-4556	4556	-1166	-9	1240	2278	-2278	583	4	-620								
79	38,50	2	-92	1859	-35	819	369	3547	-488	2803	-69	-1472	-155	4705	-16	404	2978	1679	14	-1785	-4556	4556	-1166	-9	1236	2278	-2278	583	4	-618								
80	39,00	2	-115	1807	-44	800	352	3512	-507	2762	-69	-1506	60	4681	-20	396	2978	1679	14	-1778	-4556	4556	-1166	-9	1232	2278	-2278	583	4	-616								
81	39,50	2	-137	1744	-52	776	337	3468	-526	2708	-69	-1541	-204	4645	-24	385	2978	1679	14	-1771	-4556	4556	-1166	-9	1227	2278	-2278	583	4	-614								
82	40,00	2	-160	1670	-61	747	321	3416	-545	2642	-69	-1576	-228	4596	-28	372	2978	1679	14	-1764	-4556	4556	-1166	-9	1223	2278	-2278	583	4	-612								
83	40,50	2	-183	1584	-70	715	306	3356	-565	2563	-69	-1610	-252	4534	-32	357	2978	1679	14	-1758	-4556	4556	-1166	-9	1219	2278	-2278	583	4	-609								
84	41,00	2	-205	1487	-79	677	291	3290	-585	2471	-69	-1645	-37	4461	-35	340	2978	1679	14	-1751	-4556	4556	-1166	-9	1215	2278	-2278	583	4	-607								
85	41,50	2	-228	1379	-87	636	277	3217	-606	2365	-69	-1680	-61	4375	-39	322	2978	1679	14	-1744	-4556	4556	-1166	-9	1210	2278	-2278	583	4	-605								
86	42,00	2	-251	1259	-96	590	264	3138	-627	2245	-69	-1714	-85	4277	-43	301	2978	1679	14	-1737	-4556	4556	-1166	-9	1206	2278	-2278	583	4	-603								
87	42,50	2	-273	1128	-105	540	250	3054	-648	2110	-69	-1749	-348	4167	-47	278	2978	1679	14	-1730	-4556	4556	-1166	-9	1202	2278	-2278	583	4	-601								
88	43,00	2	-296	986	-113	486	237	2964	-669	1961	-69	-1784	-133	4044	-51	254	2978	1679	14	-1723	-4556	4556	-1166	-9	1197	2278	-2278	583	4	-599								
89	43,50	2	-319	832	-122	427	225	2870	-691	1796	-69	-1818	-397	3908	-55	227	2978	1679	14	-1716	-4556	4556	-1166	-9	1193	2278	-2278	583	4	-597								
90	44,00	2	-341	667	-131	364	213	2771	-714	1615	-69	-1853	-421	3760	-59	198	2978	1679	14	-1709	-4556	4556	-1166	-9	1189	2278	-2278	583	4	-594								
91	44,50	2	-364	491	-139	296	201	2667	-736	1418	-69	-1888	-445	3599	-63	168	2978	1679	14	-1702	-4556	4556	-1166	-9	1184	2278	-2278	583	4	-592								
92	45,00	2	-387	303	-148	224	189	2554	-759	1205	-69	-1922	-469	3425	-67	135	2978	1679	14	-1695	-4556	4556	-1166	-9	1180	2278	-2278	583	4	-590								
93	45,50	2	-410	104	-157	148	177	2435	-783	975	-69	-1957</																										

Sez.	Ascissa	Sez.	Acc. + Soletta	Car. Permanenti	Carichi mobili + Effetto dinamico										Ritiro:effetti isostatici										Ritiro: eff.iper										Var.Term.Pos.:eff.iso	V.T.+ : eff.iper	Var.Term.Neg.:eff.iso	V.T.- : eff.iper
					Tmin	Tmax	Mmin	Mmax	Azione del Vento	Soletta	Strutt. Composta	Strutt. Composta	Soletta	Strutt. Composta	Strutt. Composta	Soletta	Strutt. Composta	Strutt. Composta	Soletta	Strutt. Composta	Strutt. Composta	Soletta	Strutt. Composta	Strutt. Composta	Soletta	Strutt. Composta	Strutt. Composta	Soletta	Strutt. Composta	Strutt. Composta	Soletta	Strutt. Composta	Strutt. Composta	Soletta	Strutt. Composta	Strutt. Composta		
N°	[m]	Tipi	T [kN]	M [kNm]	T [kN]	M [kNm]	T [kN]	M [kNm]	T [kN]	M [kNm]	T [kN]	M [kNm]	T [kN]	M [kNm]	N [kN]	M [kNm]	N [kN]	M [kNm]	N [kN]	M [kNm]	N [kN]	M [kNm]	N [kN]	M [kNm]	N [kN]	M [kNm]	N [kN]	M [kNm]	N [kN]	M [kNm]	N [kN]	M [kNm]	N [kN]	M [kNm]	N [kN]			
135	66,00	2	145	1475	55	669	568	2940	-352	2947	4	-1858	277	4661	25	335	2978	1679	-4	1641	-4556	4556	-1166	2	1144	2278	-2278	583	-1	-572								
136	66,50	2	122	1542	46	694	548	3016	-367	2985	4	-1856	253	4735	21	347	2978	1679	-4	1643	-4556	4556	-1166	2	1145	2278	-2278	583	-1	-572								
137	67,00	2	100	1597	38	715	529	3080	-383	3017	4	-1854	11	4796	17	356	2978	1679	-4	1645	-4556	4556	-1166	2	1146	2278	-2278	583	-1	-573								
138	67,50	2	77	1641	29	732	510	3132	-399	3040	4	-1852	35	4845	13	364	2978	1679	-4	1648	-4556	4556	-1166	2	1147	2278	-2278	583	-1	-574								
139	68,00	2	54	1674	20	744	492	3172	-415	3055	4	-1850	59	4882	9	369	2978	1679	-4	1650	-4556	4556	-1166	2	1149	2278	-2278	583	-1	-574								
140	68,50	2	31	1696	12	752	474	3201	-432	3060	4	-1848	156	4907	5	373	2978	1679	-4	1652	-4556	4556	-1166	2	1150	2278	-2278	583	-1	-575								
141	69,00	2	9	1706	3	756	456	3219	-449	3056	4	-1846	107	4919	1	374	2978	1679	-4	1654	-4556	4556	-1166	2	1151	2278	-2278	583	-1	-576								
142	69,50	2	-14	1704	-6	755	439	3227	-466	3042	-15	-1853	131	4919	-3	374	2978	1679	-4	1657	-4556	4556	-1166	2	1152	2278	-2278	583	-1	-576								
143	70,00	2	-37	1692	-15	750	422	3226	-484	3016	-15	-1861	156	4907	-7	372	2978	1679	-4	1659	-4556	4556	-1166	2	1153	2278	-2278	583	-1	-577								
144	70,50	2	-59	1668	-23	740	406	3215	-503	2980	-15	-1868	180	4883	-11	367	2978	1679	-4	1661	-4556	4556	-1166	2	1155	2278	-2278	583	-1	-577								
145	71,00	2	-82	1632	-32	726	390	3195	-522	2932	-15	-1875	204	4846	-15	361	2978	1679	-4	1663	-4556	4556	-1166	2	1156	2278	-2278	583	-1	-578								
146	71,50	2	-105	1586	-41	708	375	3168	-541	2872	-15	-1883	228	4797	-19	353	2978	1679	-4	1665	-4556	4556	-1166	2	1157	2278	-2278	583	-1	-579								
147	72,00	2	-127	1528	-49	686	360	3132	-560	2800	-15	-1890	252	4736	-22	342	2978	1679	-4	1668	-4556	4556	-1166	2	1158	2278	-2278	583	-1	-579								
148	72,50	2	-150	1458	-58	659	345	3090	-580	2714	-15	-1897	276	4662	-26	330	2978	1679	-4	1670	-4556	4556	-1166	2	1160	2278	-2278	583	-1	-580								
149	73,00	2	-173	1377	-67	628	331	3041	-600	2615	-15	-1904	300	4576	-30	316	2978	1679	-4	1672	-4556	4556	-1166	2	1161	2278	-2278	583	-1	-580								
150	73,50	2	-196	1285	-75	592	317	2986	-621	2502	-15	-1912	324	4478	-34	300	2978	1679	-4	1674	-4556	4556	-1166	2	1162	2278	-2278	583	-1	-581								
151	74,00	2	-218	1182	-84	552	303	2925	-642	2374	-15	-1919	348	4368	-38	282	2978	1679	-4	1677	-4556	4556	-1166	2	1163	2278	-2278	583	-1	-582								
152	74,50	2	-241	1067	-93	508	290	2859	-663	2232	-15	-1926	133	4245	-42	262	2978	1679	-4	1679	-4556	4556	-1166	2	1165	2278	-2278	583	-1	-582								
153	75,00	2	-264	941	-102	460	278	2788	-685	2075	-15	-1934	397	4110	-46	239	2978	1679	-4	1681	-4556	4556	-1166	2	1166	2278	-2278	583	-1	-583								
154	75,50	2	-286	804	-110	407	265	2712	-707	1902	-15	-1941	421	3962	-50	215	2978	1679	-4	1683	-4556	4556	-1166	2	1167	2278	-2278	583	-1	-584								
155	76,00	2	-309	655	-119	349	254	2633	-729	1714	-15	-1948	445	3802	-54	189	2978	1679	-4	1685	-4556	4556	-1166	2	1168	2278	-2278	583	-1	-584								
156	76,50	2	-332	495	-128	288	242	2548	-752	1510	-15	-1956	469	3629	-58	161	2978	1679	-4	1688	-4556	4556	-1166	2	1170	2278	-2278	583	-1	-585								
157	77,00	2	-354	323	-136	222	231	2456	-775	1289	-15	-1963	254	3443	-62	131	2978	1679	-4	1690	-4556	4556	-1166	2	1171	2278	-2278	583	-1	-585								
158	77,50	2	-377	140	-145	151	220	2358	-798	1051	-15	-1970	517	3244	-66	100	2978	1679	-4	1692	-4556	4556	-1166	2	1172	2278	-2278	583	-1	-586								
159	78,00	2	-400	154	-154	77	209	2253	-822	796	-15	-1978	542	3030	-70	66	2978	1679	-4	1694	-4556	4556	-1166	2	1173	2278	-2278	583	-1	-587								
160	78,50	2	-422	1260	-162	2	198	2144	-845	524	-15	-1985	566	2798	-74	30	2978	1679	-4	1697	-4556	4556	-1166	2	1175	2278	-2278	583	-1	-587								
161	79,00	2	-445	1476	-171	86	187	2029	-870	235	-118	-2009	248	2565	-78	18	2978	1679	-4	1699	-4556	4556	-1166	2	1176	2278	-2278	583	-1	-588								
162	79,50	2	-469	1705	-180	173	177	1912	-894	70	-162	-2078	4																									

Carichi mobili + Effetto dinamico												Ritiro:effetti isostatici Ritiro: eff.iper Var.Term.Pos.:eff.iso V.T.+ : eff.iper Var.Term.Neg.:eff.iso V.T.- : eff.iper																				
Sez.	Ascissa	Sez.l	Acc.	Soletta	Car.	PermanentI	Tmin	Tmax	Mmin	Mmax	Azione del Vento	Soletta	Strutt.	Composta	Strutt.	Composta	Soletta	Strutt.	Composta	Strutt.	Composta	Strutt.	Composta									
N°	[m]	Tipol	T [kN]	M [kNm]	T [kN]	M [kNm]	T [kN]	M [kNm]	T [kN]	M [kNm]	T [kN]	M [kNm]	N [kN]	M [kNm]	N [kN]	M [kNm]	N [kN]	M [kNm]	N [kNm]	M [kNm]	N [kN]	M [kNm]	N [kN]	M [kNm]								
204	100,00	2	37	1692	15	750	484	3016	-422	3226	15	-1861	-84	4907	7	372	2978	-2978	1679	4	-1659	-4556	4556	-1166	-2	1153	2278	-2278	583	1	-577	
205	100,50	2	14	1704	6	755	466	3042	-439	3227	15	-1853	-108	4919	3	374	2978	-2978	1679	4	-1657	-4556	4556	-1166	-2	1152	2278	-2278	583	1	-576	
206	101,00	2	-9	1706	-3	756	449	3056	-456	3219	-4	-1846	107	4919	-1	374	2978	-2978	1679	4	-1654	-4556	4556	-1166	-2	1151	2278	-2278	583	1	-576	
207	101,50	2	-31	1696	-12	752	432	3060	-474	3201	-4	-1848	-156	4907	-5	373	2978	-2978	1679	4	-1652	-4556	4556	-1166	-2	1150	2278	-2278	583	1	-575	
208	102,00	2	-54	1674	-20	744	415	3055	-492	3172	-4	-1850	59	4882	-9	369	2978	-2978	1679	4	-1650	-4556	4556	-1166	-2	1149	2278	-2278	583	1	-574	
209	102,50	2	-77	1641	-29	732	399	3040	-510	3132	-4	-1852	35	4845	-13	364	2978	-2978	1679	4	-1648	-4556	4556	-1166	-2	1147	2278	-2278	583	1	-574	
210	103,00	2	-100	1597	-38	715	383	3017	-529	3080	-4	-1854	-228	4796	-17	356	2978	-2978	1679	4	-1645	-4556	4556	-1166	-2	1146	2278	-2278	583	1	-573	
211	103,50	2	-122	1542	-46	694	367	2985	-548	3016	-4	-1856	-13	4735	-21	347	2978	-2978	1679	4	-1643	-4556	4556	-1166	-2	1145	2278	-2278	583	1	-572	
212	104,00	2	-145	1475	-55	669	352	2947	-568	2940	-4	-1858	-277	4661	-25	335	2978	-2978	1679	4	-1641	-4556	4556	-1166	-2	1144	2278	-2278	583	1	-572	
213	104,50	2	-168	1397	-64	639	338	2901	-588	2850	-4	-1860	-61	4575	-29	322	2978	-2978	1679	4	-1639	-4556	4556	-1166	-2	1142	2278	-2278	583	1	-571	
214	105,00	2	-190	1308	-72	605	323	2848	-608	2747	-4	-1862	-85	4477	-33	307	2978	-2978	1679	4	-1637	-4556	4556	-1166	-2	1141	2278	-2278	583	1	-571	
215	105,50	2	-213	1207	-81	566	310	2789	-629	2630	-4	-1863	-110	4367	-37	289	2978	-2978	1679	4	-1634	-4556	4556	-1166	-2	1140	2278	-2278	583	1	-570	
216	106,00	2	-236	1095	-90	524	296	2725	-650	2498	-4	-1865	-373	4244	-41	270	2978	-2978	1679	4	-1632	-4556	4556	-1166	-2	1139	2278	-2278	583	1	-569	
217	106,50	2	-258	971	-99	476	283	2655	-671	2352	-4	-1867	-397	4109	-45	249	2978	-2978	1679	4	-1630	-4556	4556	-1166	-2	1137	2278	-2278	583	1	-569	
218	107,00	2	-281	836	-107	425	271	2581	-693	2191	-4	-1869	-421	3961	-48	225	2978	-2978	1679	4	-1628	-4556	4556	-1166	-2	1136	2278	-2278	583	1	-568	
219	107,50	2	-304	690	-116	369	258	2502	-715	2014	-4	-1871	-445	3801	-52	200	2978	-2978	1679	4	-1625	-4556	4556	-1166	-2	1135	2278	-2278	583	1	-567	
220	108,00	2	-326	532	-125	309	247	2420	-737	1822	-4	-1873	-470	3628	-56	173	2978	-2978	1679	4	-1623	-4556	4556	-1166	-2	1134	2278	-2278	583	1	-567	
221	108,50	2	-349	364	-133	245	235	2332	-760	1613	-4	-1875	-254	3443	-60	144	2978	-2978	1679	4	-1621	-4556	4556	-1166	-2	1132	2278	-2278	583	1	-566	
222	109,00	2	-372	183	-142	176	224	223	-783	1388	-4	-1877	-518	3244	-64	113	2978	-2978	1679	4	-1619	-4556	4556	-1166	-2	1131	2278	-2278	583	1	-566	
223	109,50	2	-395	18	-151	102	213	2135	-806	1146	-4	-1879	-542	3033	-68	80	2978	-2978	1679	4	-1617	-4556	4556	-1166	-2	1130	2278	-2278	583	1	-565	
224	110,00	2	-417	211	-159	25	202	2028	-829	888	-4	-1881	-566	2807	-72	45	2978	-2978	1679	4	-1614	-4556	4556	-1166	-2	1129	2278	-2278	583	1	-564	
225	110,50	2	-440	426	-168	57	191	1915	-853	612	-4	-1883	-591	2562	-76	8	2978	-2978	1679	4	-1612	-4556	4556	-1166	-2	1127	2278	-2278	583	1	-564	

Carichi mobili + Effetto dinamico												Ritiro:effetti isostatici Ritiro: eff.iper Var.Term.Pos.:eff.iso V.T.+ : eff.iper Var.Term.Neg.:eff.iso V.T.- : eff.iper																				
Sez.	Ascissa	Sez.l	Acc. + Soletta	Car. Permanenti	Tmin	Tmax	Mmin	Mmax	Azione del Vento	Soletta	Strutt. Composta	Strutt. Composta	Soletta	Strutt. Composta	Strutt. Composta	Soletta	Strutt. Composta	Strutt. Composta	Soletta	Strutt. Composta	Strutt. Composta											
342	168,00	1	-221	533	-89	213	178	278	-736	1473	155	-311	-736	1473	-42	100	2978	-2978	1679	97	-193	-4556	4556	-1166	-66	132	2278	-2278	583	33	-66	
343	168,50	1	-244	417	-98	166	164	135	-768	1152	155	-233	-768	1152	-46	78	2978	-2978	1679	97	-145	-4556	4556	-1166	-66	99	2278	-2278	583	33	-50	
344	169,00	1	-267	290	-107	115	157	-132	-800	800	155	-155	-800	800	-50	54	2978	-2978	1679	97	-97	-4556	4556	-1166	-66	66	2278	-2278	583	33	-33	
345	169,50	1	-290	150	-115	60	156	-72	-833	417	155	-78	-833	417	-54	28	2978	-2978	1679	97	-48	-4556	4556	-1166	-66	33	2278	-2278	583	33	-17	
346	170,00	1	-312	0	-124	0	155	0	-867	0	0	0	0	0	-58	0	2978	-2978	1679	97	0	-4556	4556	-1166	-66	0	2278	-2278	583	33	0	

APPENDICE 2: Modelli di Calcolo degli Impalcati

Generalità

Nella presente appendice si riportano per esteso i listati di input, in formato SAP 2000, per i modelli di calcolo utilizzati:

- *Modello 1*: ottenuto considerando le proprietà inerziali delle sole travi metalliche ed utilizzato per la valutazione degli effetti indotti dal peso proprio della carpenteria metallica e della soletta;
- *Modello 2*: ottenuto considerando le proprietà inerziali ideali della sezione composta con soletta collaborante omogeneizzata all'acciaio mediante coefficiente 6. Il modello è utilizzato per la valutazione degli effetti indotti dalle azioni di breve durata (azione del vento, carichi mobili, variazioni termiche);
- *Modello 3*: ottenuto considerando le proprietà inerziali ideali della sezione mista con soletta collaborante omogeneizzata all'acciaio mediante coefficiente 20. Il modello è utilizzato per la valutazione degli effetti indotti dalle azioni di lunga durata (carichi permanenti, ritiro).

Nei modelli 2 e 3 si tiene conto della riduzione di rigidezza della sezione composta in prossimità degli appoggi interni per la fessurazione della soletta, trascurando il contributo inerziale del calcestruzzo su un tratto di lunghezza pari al 15 % delle luci delle due campate adiacenti e mettendo comunque in conto il contributo inerziale delle armature presenti entro la larghezza collaborante.

Nelle tabelle delle pagine successive tali modelli sono espressi con le seguenti sigle:

- ACC+CLS BT = sezione mista acciaio-calcestruzzo per azioni di breve termine;
- ACC+CLS LT = sezione mista acciaio-calcestruzzo per azioni di lungo termine;
- SOLO ACC = sezione con solo acciaio;
- ACC+ARM = sezione con acciaio ed armature metalliche (per le sezioni d'appoggio).

DESCRIZIONE DEL MODELLO: Viadotto Rampa 2

modello con le proprietà geometriche della sola sezione in acciaio

```
SYSTEM
  DOF=UX,UY,UZ,RX,RY,RZ  LENGTH=m  FORCE=KN  LINES=59
```

JOINT

1	X=0.00	Y=0.00	Z=0.00
2	X=0.00	Y=6.00	Z=0.00
3	X=0.00	Y=15.00	Z=0.00
4	X=0.00	Y=17.00	Z=0.00
5	X=0.00	Y=21.00	Z=0.00
6	X=0.00	Y=25.00	Z=0.00
7	X=0.00	Y=27.00	Z=0.00
8	X=0.00	Y=47.00	Z=0.00
9	X=0.00	Y=48.00	Z=0.00
10	X=0.00	Y=53.00	Z=0.00
11	X=0.00	Y=58.00	Z=0.00
12	X=0.00	Y=59.00	Z=0.00
13	X=0.00	Y=79.00	Z=0.00
14	X=0.00	Y=80.00	Z=0.00
15	X=0.00	Y=85.00	Z=0.00
16	X=0.00	Y=90.00	Z=0.00
17	X=0.00	Y=91.00	Z=0.00
18	X=0.00	Y=111.00	Z=0.00
19	X=0.00	Y=112.00	Z=0.00
20	X=0.00	Y=117.00	Z=0.00
21	X=0.00	Y=122.00	Z=0.00
22	X=0.00	Y=123.00	Z=0.00
23	X=0.00	Y=143.00	Z=0.00
24	X=0.00	Y=145.00	Z=0.00
25	X=0.00	Y=149.00	Z=0.00
26	X=0.00	Y=153.00	Z=0.00
27	X=0.00	Y=155.00	Z=0.00
28	X=0.00	Y=164.00	Z=0.00
29	X=0.00	Y=170.00	Z=0.00

RESTRAINT

ADD=1	DOF=U1,U2,U3,R2,R3
ADD=2	DOF=U1,R2,R3
ADD=3	DOF=U1,R2,R3
ADD=4	DOF=U1,R2,R3
ADD=5	DOF=U1,U3,R2,R3
ADD=6	DOF=U1,R2,R3
ADD=7	DOF=U1,R2,R3
ADD=8	DOF=U1,R2,R3
ADD=9	DOF=U1,R2,R3
ADD=10	DOF=U1,U3,R2,R3
ADD=11	DOF=U1,R2,R3
ADD=12	DOF=U1,R2,R3
ADD=13	DOF=U1,R2,R3
ADD=14	DOF=U1,R2,R3
ADD=15	DOF=U1,U3,R2,R3
ADD=16	DOF=U1,R2,R3
ADD=17	DOF=U1,R2,R3
ADD=18	DOF=U1,R2,R3
ADD=19	DOF=U1,R2,R3
ADD=20	DOF=U1,U3,R2,R3
ADD=21	DOF=U1,R2,R3
ADD=22	DOF=U1,R2,R3
ADD=23	DOF=U1,R2,R3
ADD=24	DOF=U1,R2,R3
ADD=25	DOF=U1,U3,R2,R3
ADD=26	DOF=U1,R2,R3
ADD=27	DOF=U1,R2,R3
ADD=28	DOF=U1,R2,R3
ADD=29	DOF=U1,U3,R2,R3

PATTERN

```

NAME=TEMP
NAME=PRES

```

MATERIAL

```

NAME=1FR IDES=N
T=0 E=206000000 U=0.0 A=0
NAME=2FR IDES=N
T=0 E=206000000 U=0.0 A=0
NAME=3FR IDES=N
T=0 E=206000000 U=0.0 A=0
NAME=4FR IDES=N
T=0 E=206000000 U=0.0 A=0
NAME=5FR IDES=N
T=0 E=206000000 U=0.0 A=0
NAME=6FR IDES=N
T=0 E=206000000 U=0.0 A=0
NAME=7FR IDES=N
T=0 E=206000000 U=0.0 A=0
NAME=8FR IDES=N
T=0 E=206000000 U=0.0 A=0
NAME=9FR IDES=N
T=0 E=206000000 U=0.0 A=0
NAME=10FR IDES=N
T=0 E=206000000 U=0.0 A=0
NAME=11FR IDES=N
T=0 E=206000000 U=0.0 A=0
NAME=12FR IDES=N
T=0 E=206000000 U=0.0 A=0
NAME=STEEL IDES=S M=7.8271 W=76.81954
T=0 E=1.99948E+08 U=.3 A=.0000117
NAME=CONC IDES=C M=2.40068 W=23.56161
T=0 E=2.482113E+07 U=.2 A=.0000099

```

FRAME SECTION

```

; Elenco MATERIALI (ST = Sezione Tipo GEOMETRICA)
NAME=1 MAT=1FR A=0.2740 J=0 I=0.0974627,0 AS=0,0 T=1,1 ; ST=1 (Acc+Cls BT)
NAME=2 MAT=2FR A=0.1444 J=0 I=0.0751562,0 AS=0,0 T=1,1 ; ST=1 (Acc+Cls LT)
NAME=3 MAT=3FR A=0.0888 J=0 I=0.0463556,0 AS=0,0 T=1,1 ; ST=1 (Acc+Arm)
NAME=4 MAT=4FR A=0.0754 J=0 I=0.0329267,0 AS=0,0 T=1,1 ; ST=1 (Solo Acc)
NAME=5 MAT=5FR A=0.2697 J=0 I=0.0922596,0 AS=0,0 T=1,1 ; ST=2 (Acc+Cls BT)
NAME=6 MAT=6FR A=0.1401 J=0 I=0.0725813,0 AS=0,0 T=1,1 ; ST=2 (Acc+Cls LT)
NAME=7 MAT=7FR A=0.0845 J=0 I=0.0463952,0 AS=0,0 T=1,1 ; ST=2 (Acc+Arm)
NAME=8 MAT=8FR A=0.0711 J=0 I=0.0338357,0 AS=0,0 T=1,1 ; ST=2 (Solo Acc)
NAME=9 MAT=9FR A=0.3022 J=0 I=0.1166138,0 AS=0,0 T=1,1 ; ST=3 (Acc+Cls BT)
NAME=10 MAT=10FR A=0.1726 J=0 I=0.0917332,0 AS=0,0 T=1,1 ; ST=3 (Acc+Cls LT)
NAME=11 MAT=11FR A=0.1171 J=0 I=0.0647300,0 AS=0,0 T=1,1 ; ST=3 (Acc+Arm)
NAME=12 MAT=12FR A=0.0944 J=0 I=0.0443867,0 AS=0,0 T=1,1 ; ST=3 (Solo Acc)

```

FRAME

```

; Elenco ASTE (L = Lunghezza; ST = Sezione Tipo GEOMETRICA)
1 J=1,2 SEC=4 NSEG=12 ANG=0 ; L=6,00 - ST=1 (Solo Acc) - q=8,92
2 J=2,3 SEC=8 NSEG=18 ANG=0 ; L=9,00 - ST=2 (Solo Acc) - q=8,58
3 J=3,4 SEC=12 NSEG=4 ANG=0 ; L=2,00 - ST=3 (Solo Acc) - q=10,41
4 J=4,5 SEC=12 NSEG=8 ANG=0 ; L=4,00 - ST=3 (Solo Acc) - q=10,41
5 J=5,6 SEC=12 NSEG=8 ANG=0 ; L=4,00 - ST=3 (Solo Acc) - q=10,41
6 J=6,7 SEC=12 NSEG=4 ANG=0 ; L=2,00 - ST=3 (Solo Acc) - q=10,41
7 J=7,8 SEC=8 NSEG=40 ANG=0 ; L=20,00 - ST=2 (Solo Acc) - q=8,58
8 J=8,9 SEC=12 NSEG=2 ANG=0 ; L=1,00 - ST=3 (Solo Acc) - q=10,41
9 J=9,10 SEC=12 NSEG=10 ANG=0 ; L=5,00 - ST=3 (Solo Acc) - q=10,41
10 J=10,11 SEC=12 NSEG=10 ANG=0 ; L=5,00 - ST=3 (Solo Acc) - q=10,41
11 J=11,12 SEC=12 NSEG=2 ANG=0 ; L=1,00 - ST=3 (Solo Acc) - q=10,41
12 J=12,13 SEC=8 NSEG=40 ANG=0 ; L=20,00 - ST=2 (Solo Acc) - q=8,58
13 J=13,14 SEC=12 NSEG=2 ANG=0 ; L=1,00 - ST=3 (Solo Acc) - q=10,41
14 J=14,15 SEC=12 NSEG=10 ANG=0 ; L=5,00 - ST=3 (Solo Acc) - q=10,41
15 J=15,16 SEC=12 NSEG=10 ANG=0 ; L=5,00 - ST=3 (Solo Acc) - q=10,41
16 J=16,17 SEC=12 NSEG=2 ANG=0 ; L=1,00 - ST=3 (Solo Acc) - q=10,41
17 J=17,18 SEC=8 NSEG=40 ANG=0 ; L=20,00 - ST=2 (Solo Acc) - q=8,58

```

```

18 J=18,19 SEC=12 NSEG=2 ANG=0 ; L=1,00 - ST=3 (Solo Acc) - q=10,41
19 J=19,20 SEC=12 NSEG=10 ANG=0 ; L=5,00 - ST=3 (Solo Acc) - q=10,41
20 J=20,21 SEC=12 NSEG=10 ANG=0 ; L=5,00 - ST=3 (Solo Acc) - q=10,41
21 J=21,22 SEC=12 NSEG=2 ANG=0 ; L=1,00 - ST=3 (Solo Acc) - q=10,41
22 J=22,23 SEC=8 NSEG=40 ANG=0 ; L=20,00 - ST=2 (Solo Acc) - q=8,58
23 J=23,24 SEC=12 NSEG=4 ANG=0 ; L=2,00 - ST=3 (Solo Acc) - q=10,41
24 J=24,25 SEC=12 NSEG=8 ANG=0 ; L=4,00 - ST=3 (Solo Acc) - q=10,41
25 J=25,26 SEC=12 NSEG=8 ANG=0 ; L=4,00 - ST=3 (Solo Acc) - q=10,41
26 J=26,27 SEC=12 NSEG=4 ANG=0 ; L=2,00 - ST=3 (Solo Acc) - q=10,41
27 J=27,28 SEC=8 NSEG=18 ANG=0 ; L=9,00 - ST=2 (Solo Acc) - q=8,58
28 J=28,29 SEC=4 NSEG=12 ANG=0 ; L=6,00 - ST=1 (Solo Acc) - q=8,92

```

END

DESCRIZIONE DEL MODELLO: Viadotto Rampa 2

modello con le proprietà geometriche della sezione mista per azioni di lunga durata con soletta fessurata in appoggio

SYSTEM
DOF=UX,UY,UZ,RX,RY,RZ LENGTH=m FORCE=KN LINES=59

JOINT

1	X=0.00	Y=0.00	Z=0.00
2	X=0.00	Y=6.00	Z=0.00
3	X=0.00	Y=15.00	Z=0.00
4	X=0.00	Y=17.00	Z=0.00
5	X=0.00	Y=21.00	Z=0.00
6	X=0.00	Y=25.00	Z=0.00
7	X=0.00	Y=27.00	Z=0.00
8	X=0.00	Y=47.00	Z=0.00
9	X=0.00	Y=48.00	Z=0.00
10	X=0.00	Y=53.00	Z=0.00
11	X=0.00	Y=58.00	Z=0.00
12	X=0.00	Y=59.00	Z=0.00
13	X=0.00	Y=79.00	Z=0.00
14	X=0.00	Y=80.00	Z=0.00
15	X=0.00	Y=85.00	Z=0.00
16	X=0.00	Y=90.00	Z=0.00
17	X=0.00	Y=91.00	Z=0.00
18	X=0.00	Y=111.00	Z=0.00
19	X=0.00	Y=112.00	Z=0.00
20	X=0.00	Y=117.00	Z=0.00
21	X=0.00	Y=122.00	Z=0.00
22	X=0.00	Y=123.00	Z=0.00
23	X=0.00	Y=143.00	Z=0.00
24	X=0.00	Y=145.00	Z=0.00
25	X=0.00	Y=149.00	Z=0.00
26	X=0.00	Y=153.00	Z=0.00
27	X=0.00	Y=155.00	Z=0.00
28	X=0.00	Y=164.00	Z=0.00
29	X=0.00	Y=170.00	Z=0.00

RESTRAINT

ADD=1	DOF=U1,U2,U3,R2,R3
ADD=2	DOF=U1,R2,R3
ADD=3	DOF=U1,R2,R3
ADD=4	DOF=U1,R2,R3
ADD=5	DOF=U1,U3,R2,R3
ADD=6	DOF=U1,R2,R3
ADD=7	DOF=U1,R2,R3
ADD=8	DOF=U1,R2,R3
ADD=9	DOF=U1,R2,R3
ADD=10	DOF=U1,U3,R2,R3
ADD=11	DOF=U1,R2,R3
ADD=12	DOF=U1,R2,R3
ADD=13	DOF=U1,R2,R3
ADD=14	DOF=U1,R2,R3
ADD=15	DOF=U1,U3,R2,R3
ADD=16	DOF=U1,R2,R3
ADD=17	DOF=U1,R2,R3
ADD=18	DOF=U1,R2,R3
ADD=19	DOF=U1,R2,R3
ADD=20	DOF=U1,U3,R2,R3
ADD=21	DOF=U1,R2,R3
ADD=22	DOF=U1,R2,R3
ADD=23	DOF=U1,R2,R3
ADD=24	DOF=U1,R2,R3
ADD=25	DOF=U1,U3,R2,R3
ADD=26	DOF=U1,R2,R3
ADD=27	DOF=U1,R2,R3
ADD=28	DOF=U1,R2,R3
ADD=29	DOF=U1,U3,R2,R3

PATTERN
NAME=TEMP

NAME=PRES

MATERIAL

NAME=1FR IDES=N
T=0 E=206000000 U=0.0 A=0
NAME=2FR IDES=N
T=0 E=206000000 U=0.0 A=0
NAME=3FR IDES=N
T=0 E=206000000 U=0.0 A=0
NAME=4FR IDES=N
T=0 E=206000000 U=0.0 A=0
NAME=5FR IDES=N
T=0 E=206000000 U=0.0 A=0
NAME=6FR IDES=N
T=0 E=206000000 U=0.0 A=0
NAME=7FR IDES=N
T=0 E=206000000 U=0.0 A=0
NAME=8FR IDES=N
T=0 E=206000000 U=0.0 A=0
NAME=9FR IDES=N
T=0 E=206000000 U=0.0 A=0
NAME=10FR IDES=N
T=0 E=206000000 U=0.0 A=0
NAME=11FR IDES=N
T=0 E=206000000 U=0.0 A=0
NAME=12FR IDES=N
T=0 E=206000000 U=0.0 A=0
NAME=STEEL IDES=S M=7.8271 W=76.81954
T=0 E=1.99948E+08 U=.3 A=.0000117
NAME=CONC IDES=C M=2.40068 W=23.56161
T=0 E=2.482113E+07 U=.2 A=.0000099

FRAME SECTION

; Elenco MATERIALI (ST = Sezione Tipo GEOMETRICA)
NAME=1 MAT=1FR A=0.2740 J=0 I=0.0974627,0 AS=0,0 T=1,1 ; ST=1 (Acc+Cls BT)
NAME=2 MAT=2FR A=0.1444 J=0 I=0.0751562,0 AS=0,0 T=1,1 ; ST=1 (Acc+Cls LT)
NAME=3 MAT=3FR A=0.0888 J=0 I=0.0463556,0 AS=0,0 T=1,1 ; ST=1 (Acc+Arm)
NAME=4 MAT=4FR A=0.0754 J=0 I=0.0329267,0 AS=0,0 T=1,1 ; ST=1 (Solo Acc)
NAME=5 MAT=5FR A=0.2697 J=0 I=0.0922596,0 AS=0,0 T=1,1 ; ST=2 (Acc+Cls BT)
NAME=6 MAT=6FR A=0.1401 J=0 I=0.0725813,0 AS=0,0 T=1,1 ; ST=2 (Acc+Cls LT)
NAME=7 MAT=7FR A=0.0845 J=0 I=0.0463952,0 AS=0,0 T=1,1 ; ST=2 (Acc+Arm)
NAME=8 MAT=8FR A=0.0711 J=0 I=0.0338357,0 AS=0,0 T=1,1 ; ST=2 (Solo Acc)
NAME=9 MAT=9FR A=0.3022 J=0 I=0.1166138,0 AS=0,0 T=1,1 ; ST=3 (Acc+Cls BT)
NAME=10 MAT=10FR A=0.1726 J=0 I=0.0917332,0 AS=0,0 T=1,1 ; ST=3 (Acc+Cls LT)
NAME=11 MAT=11FR A=0.1171 J=0 I=0.0647300,0 AS=0,0 T=1,1 ; ST=3 (Acc+Arm)
NAME=12 MAT=12FR A=0.0944 J=0 I=0.0443867,0 AS=0,0 T=1,1 ; ST=3 (Solo Acc)

FRAME

; Elenco ASTE (L = Lunghezza; ST = Sezione Tipo GEOMETRICA)
1 J=1,2 SEC=2 NSEG=12 ANG=0 ; L=6,00 - ST=1 (Acc+Cls LT) - q=8,92
2 J=2,3 SEC=6 NSEG=18 ANG=0 ; L=9,00 - ST=2 (Acc+Cls LT) - q=8,58
3 J=3,4 SEC=10 NSEG=4 ANG=0 ; L=2,00 - ST=3 (Acc+Cls LT) - q=10,41
4 J=4,5 SEC=11 NSEG=8 ANG=0 ; L=4,00 - ST=3 (Acc+Arm) - q=10,41
5 J=5,6 SEC=11 NSEG=8 ANG=0 ; L=4,00 - ST=3 (Acc+Arm) - q=10,41
6 J=6,7 SEC=10 NSEG=4 ANG=0 ; L=2,00 - ST=3 (Acc+Cls LT) - q=10,41
7 J=7,8 SEC=6 NSEG=40 ANG=0 ; L=20,00 - ST=2 (Acc+Cls LT) - q=8,58
8 J=8,9 SEC=10 NSEG=2 ANG=0 ; L=1,00 - ST=3 (Acc+Cls LT) - q=10,41
9 J=9,10 SEC=11 NSEG=10 ANG=0 ; L=5,00 - ST=3 (Acc+Arm) - q=10,41
10 J=10,11 SEC=11 NSEG=10 ANG=0 ; L=5,00 - ST=3 (Acc+Arm) - q=10,41
11 J=11,12 SEC=10 NSEG=2 ANG=0 ; L=1,00 - ST=3 (Acc+Cls LT) - q=10,41
12 J=12,13 SEC=6 NSEG=40 ANG=0 ; L=20,00 - ST=2 (Acc+Cls LT) - q=8,58
13 J=13,14 SEC=10 NSEG=2 ANG=0 ; L=1,00 - ST=3 (Acc+Cls LT) - q=10,41
14 J=14,15 SEC=11 NSEG=10 ANG=0 ; L=5,00 - ST=3 (Acc+Arm) - q=10,41
15 J=15,16 SEC=11 NSEG=10 ANG=0 ; L=5,00 - ST=3 (Acc+Arm) - q=10,41
16 J=16,17 SEC=10 NSEG=2 ANG=0 ; L=1,00 - ST=3 (Acc+Cls LT) - q=10,41
17 J=17,18 SEC=6 NSEG=40 ANG=0 ; L=20,00 - ST=2 (Acc+Cls LT) - q=8,58
18 J=18,19 SEC=10 NSEG=2 ANG=0 ; L=1,00 - ST=3 (Acc+Cls LT) - q=10,41
19 J=19,20 SEC=11 NSEG=10 ANG=0 ; L=5,00 - ST=3 (Acc+Arm) - q=10,41
20 J=20,21 SEC=11 NSEG=10 ANG=0 ; L=5,00 - ST=3 (Acc+Arm) - q=10,41
21 J=21,22 SEC=10 NSEG=2 ANG=0 ; L=1,00 - ST=3 (Acc+Cls LT) - q=10,41
22 J=22,23 SEC=6 NSEG=40 ANG=0 ; L=20,00 - ST=2 (Acc+Cls LT) - q=8,58
23 J=23,24 SEC=10 NSEG=4 ANG=0 ; L=2,00 - ST=3 (Acc+Cls LT) - q=10,41
24 J=24,25 SEC=11 NSEG=8 ANG=0 ; L=4,00 - ST=3 (Acc+Arm) - q=10,41
25 J=25,26 SEC=11 NSEG=8 ANG=0 ; L=4,00 - ST=3 (Acc+Arm) - q=10,41

```
26 J=26,27 SEC=10 NSEG=4 ANG=0 ; L=2,00 - ST=3 (Acc+Cls LT) - q=10,41
27 J=27,28 SEC=6 NSEG=18 ANG=0 ; L=9,00 - ST=2 (Acc+Cls LT) - q=8,58
28 J=28,29 SEC=2 NSEG=12 ANG=0 ; L=6,00 - ST=1 (Acc+Cls LT) - q=8,92
```

END

DESCRIZIONE DEL MODELLO: Viadotto Rampa 2

modello con le proprietà geometriche della sezione mista per azioni di breve durata con soletta fessurata in appoggio

SYSTEM
DOF=UX,UY,UZ,RX,RY,RZ LENGTH=m FORCE=KN LINES=59

JOINT

1	X=0.00	Y=0.00	Z=0.00
2	X=0.00	Y=6.00	Z=0.00
3	X=0.00	Y=15.00	Z=0.00
4	X=0.00	Y=17.00	Z=0.00
5	X=0.00	Y=21.00	Z=0.00
6	X=0.00	Y=25.00	Z=0.00
7	X=0.00	Y=27.00	Z=0.00
8	X=0.00	Y=47.00	Z=0.00
9	X=0.00	Y=48.00	Z=0.00
10	X=0.00	Y=53.00	Z=0.00
11	X=0.00	Y=58.00	Z=0.00
12	X=0.00	Y=59.00	Z=0.00
13	X=0.00	Y=79.00	Z=0.00
14	X=0.00	Y=80.00	Z=0.00
15	X=0.00	Y=85.00	Z=0.00
16	X=0.00	Y=90.00	Z=0.00
17	X=0.00	Y=91.00	Z=0.00
18	X=0.00	Y=111.00	Z=0.00
19	X=0.00	Y=112.00	Z=0.00
20	X=0.00	Y=117.00	Z=0.00
21	X=0.00	Y=122.00	Z=0.00
22	X=0.00	Y=123.00	Z=0.00
23	X=0.00	Y=143.00	Z=0.00
24	X=0.00	Y=145.00	Z=0.00
25	X=0.00	Y=149.00	Z=0.00
26	X=0.00	Y=153.00	Z=0.00
27	X=0.00	Y=155.00	Z=0.00
28	X=0.00	Y=164.00	Z=0.00
29	X=0.00	Y=170.00	Z=0.00

RESTRAINT

ADD=1	DOF=U1,U2,U3,R2,R3
ADD=2	DOF=U1,R2,R3
ADD=3	DOF=U1,R2,R3
ADD=4	DOF=U1,R2,R3
ADD=5	DOF=U1,U3,R2,R3
ADD=6	DOF=U1,R2,R3
ADD=7	DOF=U1,R2,R3
ADD=8	DOF=U1,R2,R3
ADD=9	DOF=U1,R2,R3
ADD=10	DOF=U1,U3,R2,R3
ADD=11	DOF=U1,R2,R3
ADD=12	DOF=U1,R2,R3
ADD=13	DOF=U1,R2,R3
ADD=14	DOF=U1,R2,R3
ADD=15	DOF=U1,U3,R2,R3
ADD=16	DOF=U1,R2,R3
ADD=17	DOF=U1,R2,R3
ADD=18	DOF=U1,R2,R3
ADD=19	DOF=U1,R2,R3
ADD=20	DOF=U1,U3,R2,R3
ADD=21	DOF=U1,R2,R3
ADD=22	DOF=U1,R2,R3
ADD=23	DOF=U1,R2,R3
ADD=24	DOF=U1,R2,R3
ADD=25	DOF=U1,U3,R2,R3
ADD=26	DOF=U1,R2,R3
ADD=27	DOF=U1,R2,R3
ADD=28	DOF=U1,R2,R3
ADD=29	DOF=U1,U3,R2,R3

PATTERN
NAME=TEMP

NAME=PRES

MATERIAL

NAME=1FR IDES=N
T=0 E=206000000 U=0.0 A=0
NAME=2FR IDES=N
T=0 E=206000000 U=0.0 A=0
NAME=3FR IDES=N
T=0 E=206000000 U=0.0 A=0
NAME=4FR IDES=N
T=0 E=206000000 U=0.0 A=0
NAME=5FR IDES=N
T=0 E=206000000 U=0.0 A=0
NAME=6FR IDES=N
T=0 E=206000000 U=0.0 A=0
NAME=7FR IDES=N
T=0 E=206000000 U=0.0 A=0
NAME=8FR IDES=N
T=0 E=206000000 U=0.0 A=0
NAME=9FR IDES=N
T=0 E=206000000 U=0.0 A=0
NAME=10FR IDES=N
T=0 E=206000000 U=0.0 A=0
NAME=11FR IDES=N
T=0 E=206000000 U=0.0 A=0
NAME=12FR IDES=N
T=0 E=206000000 U=0.0 A=0
NAME=STEEL IDES=S M=7.8271 W=76.81954
T=0 E=1.99948E+08 U=.3 A=.0000117
NAME=CONC IDES=C M=2.40068 W=23.56161
T=0 E=2.482113E+07 U=.2 A=.0000099

FRAME SECTION

; Elenco MATERIALI (ST = Sezione Tipo GEOMETRICA)
NAME=1 MAT=1FR A=0.2740 J=0 I=0.0974627,0 AS=0,0 T=1,1 ; ST=1 (Acc+Cls BT)
NAME=2 MAT=2FR A=0.1444 J=0 I=0.0751562,0 AS=0,0 T=1,1 ; ST=1 (Acc+Cls LT)
NAME=3 MAT=3FR A=0.0888 J=0 I=0.0463556,0 AS=0,0 T=1,1 ; ST=1 (Acc+Arm)
NAME=4 MAT=4FR A=0.0754 J=0 I=0.0329267,0 AS=0,0 T=1,1 ; ST=1 (Solo Acc)
NAME=5 MAT=5FR A=0.2697 J=0 I=0.0922596,0 AS=0,0 T=1,1 ; ST=2 (Acc+Cls BT)
NAME=6 MAT=6FR A=0.1401 J=0 I=0.0725813,0 AS=0,0 T=1,1 ; ST=2 (Acc+Cls LT)
NAME=7 MAT=7FR A=0.0845 J=0 I=0.0463952,0 AS=0,0 T=1,1 ; ST=2 (Acc+Arm)
NAME=8 MAT=8FR A=0.0711 J=0 I=0.0338357,0 AS=0,0 T=1,1 ; ST=2 (Solo Acc)
NAME=9 MAT=9FR A=0.3022 J=0 I=0.1166138,0 AS=0,0 T=1,1 ; ST=3 (Acc+Cls BT)
NAME=10 MAT=10FR A=0.1726 J=0 I=0.0917332,0 AS=0,0 T=1,1 ; ST=3 (Acc+Cls LT)
NAME=11 MAT=11FR A=0.1171 J=0 I=0.0647300,0 AS=0,0 T=1,1 ; ST=3 (Acc+Arm)
NAME=12 MAT=12FR A=0.0944 J=0 I=0.0443867,0 AS=0,0 T=1,1 ; ST=3 (Solo Acc)

FRAME

; Elenco ASTE (L = Lunghezza; ST = Sezione Tipo GEOMETRICA)
1 J=1,2 SEC=1 NSEG=12 ANG=0 ; L=6,00 - ST=1 (Acc+Cls BT) - q=8,92
2 J=2,3 SEC=5 NSEG=18 ANG=0 ; L=9,00 - ST=2 (Acc+Cls BT) - q=8,58
3 J=3,4 SEC=9 NSEG=4 ANG=0 ; L=2,00 - ST=3 (Acc+Cls BT) - q=10,41
4 J=4,5 SEC=11 NSEG=8 ANG=0 ; L=4,00 - ST=3 (Acc+Arm) - q=10,41
5 J=5,6 SEC=11 NSEG=8 ANG=0 ; L=4,00 - ST=3 (Acc+Arm) - q=10,41
6 J=6,7 SEC=9 NSEG=4 ANG=0 ; L=2,00 - ST=3 (Acc+Cls BT) - q=10,41
7 J=7,8 SEC=5 NSEG=40 ANG=0 ; L=20,00 - ST=2 (Acc+Cls BT) - q=8,58
8 J=8,9 SEC=9 NSEG=2 ANG=0 ; L=1,00 - ST=3 (Acc+Cls BT) - q=10,41
9 J=9,10 SEC=11 NSEG=10 ANG=0 ; L=5,00 - ST=3 (Acc+Arm) - q=10,41
10 J=10,11 SEC=11 NSEG=10 ANG=0 ; L=5,00 - ST=3 (Acc+Arm) - q=10,41
11 J=11,12 SEC=9 NSEG=2 ANG=0 ; L=1,00 - ST=3 (Acc+Cls BT) - q=10,41
12 J=12,13 SEC=5 NSEG=40 ANG=0 ; L=20,00 - ST=2 (Acc+Cls BT) - q=8,58
13 J=13,14 SEC=9 NSEG=2 ANG=0 ; L=1,00 - ST=3 (Acc+Cls BT) - q=10,41
14 J=14,15 SEC=11 NSEG=10 ANG=0 ; L=5,00 - ST=3 (Acc+Arm) - q=10,41
15 J=15,16 SEC=11 NSEG=10 ANG=0 ; L=5,00 - ST=3 (Acc+Arm) - q=10,41
16 J=16,17 SEC=9 NSEG=2 ANG=0 ; L=1,00 - ST=3 (Acc+Cls BT) - q=10,41
17 J=17,18 SEC=5 NSEG=40 ANG=0 ; L=20,00 - ST=2 (Acc+Cls BT) - q=8,58
18 J=18,19 SEC=9 NSEG=2 ANG=0 ; L=1,00 - ST=3 (Acc+Cls BT) - q=10,41
19 J=19,20 SEC=11 NSEG=10 ANG=0 ; L=5,00 - ST=3 (Acc+Arm) - q=10,41
20 J=20,21 SEC=11 NSEG=10 ANG=0 ; L=5,00 - ST=3 (Acc+Arm) - q=10,41
21 J=21,22 SEC=9 NSEG=2 ANG=0 ; L=1,00 - ST=3 (Acc+Cls BT) - q=10,41
22 J=22,23 SEC=5 NSEG=40 ANG=0 ; L=20,00 - ST=2 (Acc+Cls BT) - q=8,58
23 J=23,24 SEC=9 NSEG=4 ANG=0 ; L=2,00 - ST=3 (Acc+Cls BT) - q=10,41
24 J=24,25 SEC=11 NSEG=8 ANG=0 ; L=4,00 - ST=3 (Acc+Arm) - q=10,41
25 J=25,26 SEC=11 NSEG=8 ANG=0 ; L=4,00 - ST=3 (Acc+Arm) - q=10,41

```
26 J=26,27 SEC=9 NSEG=4 ANG=0 ; L=2,00 - ST=3 (Acc+Cls BT) - q=10,41
27 J=27,28 SEC=5 NSEG=18 ANG=0 ; L=9,00 - ST=2 (Acc+Cls BT) - q=8,58
28 J=28,29 SEC=1 NSEG=12 ANG=0 ; L=6,00 - ST=1 (Acc+Cls BT) - q=8,92
```

END